

*С.346.6а*

*Д-79*

ОБЪЕДИНЕННЫЙ  
ИНСТИТУТ  
ЯДЕРНЫХ  
ИССЛЕДОВАНИЙ

Дубна

1673



Ду Юань-цай, У Цэун-фан, Хуан Цэу-чжань, Шэнь Цун-хуа

ЛАБОРАТОРИЯ ТЕОРЕТИЧЕСКОЙ ФИЗИКИ

КРИВЫЕ ФАЗОВОГО ОБЪЕМА  
И ИХ ПРИМЕНЕНИЕ К ИЗУЧЕНИЮ РЕЗОНАНСОВ  
ЧАСТЬ I ( $\pi N$ )

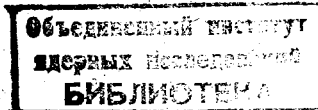
1964

Ду Юань-цай, У Цэун-фан, Хуан Цэу-чжань, Шэнь Цун-хуа

1673

2509/1  
49

КРИВЫЕ ФАЗОВОГО ОБЪЕМА  
И ИХ ПРИМЕНЕНИЕ К ИЗУЧЕНИЮ РЕЗОНАНСОВ  
ЧАСТЬ I ( $\pi N$ )



Дубна 1964

## Введение

За последние годы много работ посвящено поиску различных резонансов и определению их свойств, характеризующихся массой, шириной пика резонанса и другими квантовыми числами. При экспериментальном исследовании возможности существования какого-то резонанса нужно сравнивать экспериментальную кривую распределения по эффективной массе, состоящей из некоторых частиц, для данного процесса с теоретической кривой, т.е. с кривой фазового объема распределения по эффективной массе, чтобы точно оценить статистический фон и определить возможность существования этого резонанса. До сих пор большинство исследований резонансов выполнено в области небольших энергий. При этом число частиц в конечном состоянии, вообще говоря, небольшое, и можно считать все частицы конечного состояния определенными. Но в области высокой энергии число частиц в конечном состоянии становится большим и не всегда возможно различать и регистрировать все частицы. Поэтому задача усложняется. Учитывая необходимость экспериментального исследования резонансов при высокой энергии, мы рассчитали кривые фазового объема некоторых главных процессов для взаимодействия  $\pi N$ ,  $NN$  и  $KN$  при  $1 - 10$  Гэв.

В этой статье получена также общая формула, которая может быть использована для построения экспериментальной кривой распределения по эффективной массе, состоящей из нескольких произвольных частиц. Так как в этой формуле эффективная масса, состоящая из нескольких произвольных частиц, выражается через функции различных двухчастичных эффективных масс, то с ее помощью можно изучать каскадные свойства многочастичных резонансов<sup>1/</sup>.

### 1. Вычисления кривых фазового объема для распределений по эффективной массе.

В настоящем параграфе приведены формулы для вычисления кривых фазового объема, которые затем будут использованы для сравнения с экспериментальными кривыми.

#### 1) Формулы для вычисления.

В качестве исходного в наших формулах используется следующее выражение:

$$W = \int \frac{d^3 P_1}{2P_{10}} \cdot \frac{d^3 P_2}{2P_{20}} \cdot \frac{d^3 P_3}{2P_{30}} \dots \frac{d^3 P_n}{2P_{n0}} \delta^4 \left( \sum_{i=1}^n P_i - P \right). \quad (1)$$

Очевидно, такое определение фазового объема является лоренцовским инвариантным.  
После несложного математического преобразования выражение для фазового объема можно переписать так<sup>/2/</sup>, что эффективные массы  $\mathbb{M}_{1e}$  становятся переменными:

$$W = \left( \frac{\pi}{2} \right)^{n-1} \int G^{(1)} (m_1^2, m_2^2, \dots, \mathbb{M}_{2e}^2) G^{(2)} (\mathbb{M}_{2e}^2, m_3^2, \mathbb{M}_{3e}^2) \dots \quad (2)$$

$$G^{(n-1)} (\mathbb{M}_{(n-1)e}^2, m_n^2, \mathbb{M}_{ne}^2) \cdot d\mathbb{M}_{2e}^2 d\mathbb{M}_{3e}^2 \dots d\mathbb{M}_{(n-1)e}^2$$

Здесь  $G^{(1)}$  имеет вид

$$G^{(1)} = [1 - 2 \frac{(\mathbb{M}_{1e}^2 + m_{i+1}^2)}{\mathbb{M}_{(i+1)e}^2} + (\frac{\mathbb{M}_{1e}^2 - m_{i+1}^2}{\mathbb{M}_{(i+1)e}^2})^2]^{\frac{1}{2}},$$

а  $\mathbb{M}_{1e} = m_1$ ,  $\mathbb{M}_{ne} = E$ , — полная энергия в с.ц.м. Из выражения (2) можно получить формулы распределения вероятности по  $\mathbb{M}_i$  ( $\mathbb{M}_i$  — эффективная масса, состоящая из  $i$  — частиц,  $i$  изменяется от 2 до  $n-2$ ,  $n$  — число частиц в конечном состоянии).

Здесь даны только несколько конкретных формул для случая  $i = 2, 3, 4$ , которые использованы для вычисления кривых в приложении.

$$\frac{dW_n}{d\mathbb{M}_{2e}} = \left( \frac{\pi}{2} \right)^{n-1} \frac{(E - m_4 - \dots - m_n)^2 (E - m_5 - \dots - m_n)^2 \dots (E - m_n)^2}{2\mathbb{M}_{2e} \int d\mathbb{M}_{3e}^2 \int d\mathbb{M}_{4e}^2 \dots \int d\mathbb{M}_{(n-1)e}^2} \cdot \prod_{i=1}^{n-1} G^{(1)}, \quad (3)$$

$$\frac{dW_n}{d\mathbb{M}_{3e}} = \left( \frac{\pi}{2} \right)^{n-1} \frac{(\mathbb{M}_{3e} - m_3)^2 (E - m_5 - \dots - m_n)^2 \dots (E - m_n)^2}{2\mathbb{M}_{3e} \left[ \frac{(\mathbb{M}_{2e} + m_3)^2}{(m_1 + m_2)^2} \times \frac{(\mathbb{M}_{3e} + m_4)^2}{(m_1 + m_2 + m_3)^2} \times \dots \times \frac{(\mathbb{M}_{(n-2)e} + m_{n-1})^2}{(\mathbb{M}_{(n-2)e} + m_{n-1})^2} \right] \prod_{i=1}^{n-1} G^{(1)}}. \quad (4)$$

$$\frac{dW_n}{d\mathbb{M}_{4e}} = \left( \frac{\pi}{2} \right)^{n-1} \frac{(\mathbb{M}_{4e} - m_4)^2 (\mathbb{M}_{3e} - m_3)^2 \dots (E - m_6 - \dots - m_n)^2}{2\mathbb{M}_{4e} \left[ \frac{(\mathbb{M}_{2e} + m_3 + m_4)^2}{(m_1 + m_2 + m_3)^2} \times \frac{(\mathbb{M}_{3e} + m_4)^2}{(m_1 + m_2)^2} \times \dots \times \frac{(\mathbb{M}_{(n-2)e} + m_{n-1})^2}{(\mathbb{M}_{(n-2)e} + m_{n-1})^2} \right] \prod_{i=1}^{n-1} G^{(1)}}. \quad (5)$$

$$\dots \int d\mathbb{M}_{(n-1)e}^2 \prod_{i=1}^{n-1} G^{(1)}]$$

<sup>x)</sup> В работе<sup>/2/</sup> в аналогичном выражении потерян фактор  $(\pi)^{n-1}$ .

Остальные формулы для случая  $i > 4$  можно получить аналогичным методом.

Необходимо подчеркнуть, что (2) - (5) - строгие и не содержат никаких приближений. Многократные интегралы в формулах (2) - (5) вычислялись по методам Симпсона и Коробова на электронной счетной машине ОИЯИ в Дубне. Расчеты показывают, что скорость вычисления таких многократных интегралов все еще велика и точность результатов достаточна.

## 2) Сложение кривых фазового объема.

Полученные вышеуказанным методом кривые фазового объема (в дальнейшем называем их элементарными кривыми фазового объема) годны только для определенных индивидуальных каналов реакции. Однако в эксперименте, особенно при высоких энергиях, регистрация нейтральных частиц трудна. Поэтому при высоких энергиях, вообще говоря, выделенный по зарегистрированным частицам канал представляет собою совокупность ряда каналов реакции с различным числом  $\pi^0$ -мезонов и других нейтральных частиц (далее обозначаем совокупность смешанным состоянием). Для сравнения экспериментальных распределений на основании такой совокупности ряда каналов реакции по эффективным массам с кривыми фазового объема необходимо сложить элементарные кривые фазового объема, касающиеся совокупности всех возможных каналов реакции по их соответственным статистическим весам.

По статистической теории /3, 4/ статистический вес некоторого определенного канала реакции равен произведению интеграла фазового объема для данного канала реакции  $W_n$  и соответствующих факторов  $f(V, I, S, T)$  от объема взаимодействия, изоспина спина и чисел тождественных частиц. Поэтому при сложении этих кривых следует нормировать площадь под каждой кривой распределения по эффективной массе на соответственный вес  $W_n \cdot f(V, I, S, T)$ . После получения кривых мы можем сложить их по возможным каналам и дать кривую распределения по эффективной массе, состоящей из  $N$  частиц, для этого смешанного состояния. При сравнении полученной кривой с экспериментальными данными необходимо помнить, что площадь под этой кривой соответствует экспериментальному сечению смешанного состояния.

## 3. Вычисление экспериментального распределения по эффективной массе, состоящей из нескольких частиц.

При вычислении распределения по эффективной массе, состоящей из нескольких частиц, используется следующая формула

$$M_N = \left[ \sum_{N-1}^{N-1} M_{ij}^2 - (N-2) \sum_{k=1}^N M_k^2 \right]^{1/2}$$

где  $M_N$  - эффективная масса, состоящая из  $N$  частиц.

$$M_{ij} = \sqrt{2(E_i E_j - P_i P_j \cos \theta_{ij}) + M_i^2 + M_j^2}$$

эффективная масса, состоящая из любых двух частиц.

$i = 1, 2, 3, \dots, N-1$ .

$j = 2, 3, 4, \dots, N$ .

Например, эффективная масса, состоящая из любых четырех частиц, для  $n$  частиц конечного состояния имеет вид:

$$M_{ijkl} = [M_i^2 + M_j^2 + M_k^2 + M_l^2 + M_{il}^2 + M_{jk}^2 + M_{kl}^2 - 2(M_i^2 + M_j^2 + M_k^2 + M_l^2)]^{1/4}$$

$i < j < k < l$ ,     $i = 1, 2, 3, \dots, n-3$ ,     $j = 2, 3, 4, \dots, n-2$ ,  
 $k = 3, 4, 5, \dots, n-1$ .     $l = 4, 5, 6, \dots, n$ .

Вследствие простоты этот метод имеет преимущества при изучении каскадных распадов резонансов. В настоящее время он используется некоторыми группами Лаборатории высоких энергий в Дубне при изучении резонансов.

## 2. Обсуждение результатов

В приложении даны кривые распределения вероятности по эффективной массе, рассчитанные по формулам (3), (4), (5) для некоторых главных конечных состояний  $\pi N$  взаимодействия при энергии 3,8 Гэв в с.ц.м. (т.е. кинетической энергии падающего  $\pi^-$ -мезона 7,2 Гэв/с). Этими состояниями являются  $\pi + N \rightarrow N + \pi^-$ ,  
 $\pi + N \rightarrow \Lambda + K + \pi^-$ ,  $\pi + N \rightarrow \Sigma + K + \pi^-$ ,  $\pi + N \rightarrow N + K + \bar{K} + \pi^-$ . При вычислении по каждой из формул (3), (4), (5) число  $n$  изменилось от возможного минимума до 7 (вычисления показывают, что вкладом для  $n > 7$  можно пренебречь). После рассмотрения всех кривых можно найти некоторые закономерности изменения положения вершины кривых:

1) Вершины кривых сдвигаются налево к малой эффективной массе с увеличением числа  $i$  для фиксированного числа  $n$ . Одновременно наклон кривых слева увеличивается, справа уменьшается.

2) Вершины кривых сдвигаются налево к малой эффективной массе с уменьшением числа  $i$  для фиксированного числа  $n$ . Одновременно наклон кривых слева увеличивается, справа уменьшается.

3) Вершины кривых сдвигаются налево к малой эффективной массе с уменьшением совокупности масс  $i$  частиц для данных чисел  $n$  и  $i$ , наоборот, сдвигаются вправо, если число  $\pi^-$ -мезонов в резонансе возрастает.

Авторы выражают благодарность профессору Чжан Вэн-юю, В.С.Барашенкову, Сэнь Дин-чану, Чэнь Цун-мо и В.М.Мальцеву за полезные замечания.

## Л и т е р а т у р а

1. V.A.Belyakov, Wang Yung-chang, V.I.Vexler, N.M.Wiryasov, Du Yuan-cai et al.  
1962 International Conference on High Energy Physics at CERN, (1962), p. 336
2. Сянь Дин-чан, Чэнь Цун-мо. ЖЭТФ, 41, 748 (1961).
3. С.З.Беленъкий, В.М.Максименко и др. УФН вып. 2, (1957).
4. V.S.Bareshenkov, V.M.Maltsev, Huang Tzu-tzan.. Acta Physica Polonica, v. XXIII (1963), p. 765.

## ПРИЛОЖЕНИЕ

На рисунках каждая кривая является кривой фазового объема в данном канале, название которого показывает на том же самом рисунке распределения вероятности по какой-то массе  $M_{10}$ , которая состоит из данных частиц внутри соответствующей скобки.

Рукопись поступила в издательский отдел  
13 мая 1984 г.

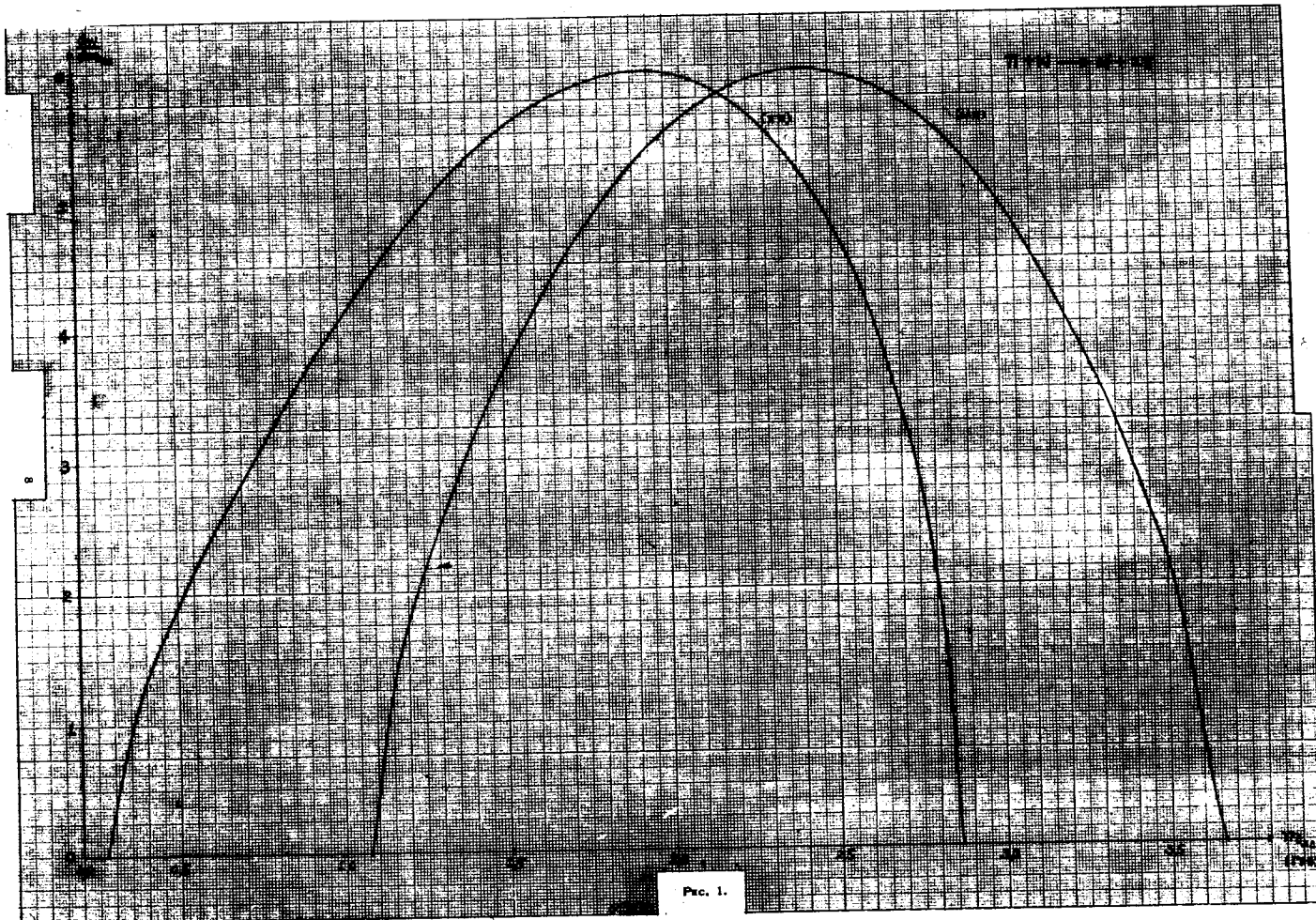
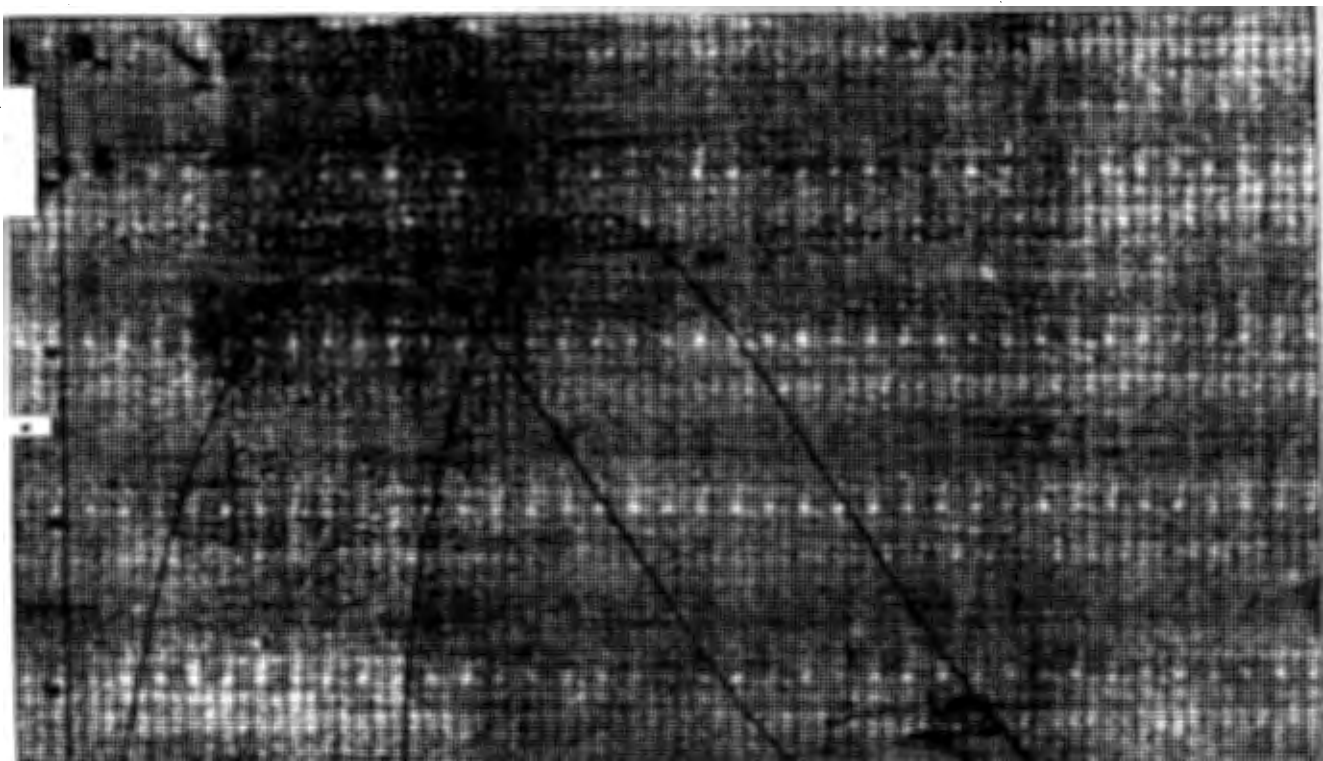
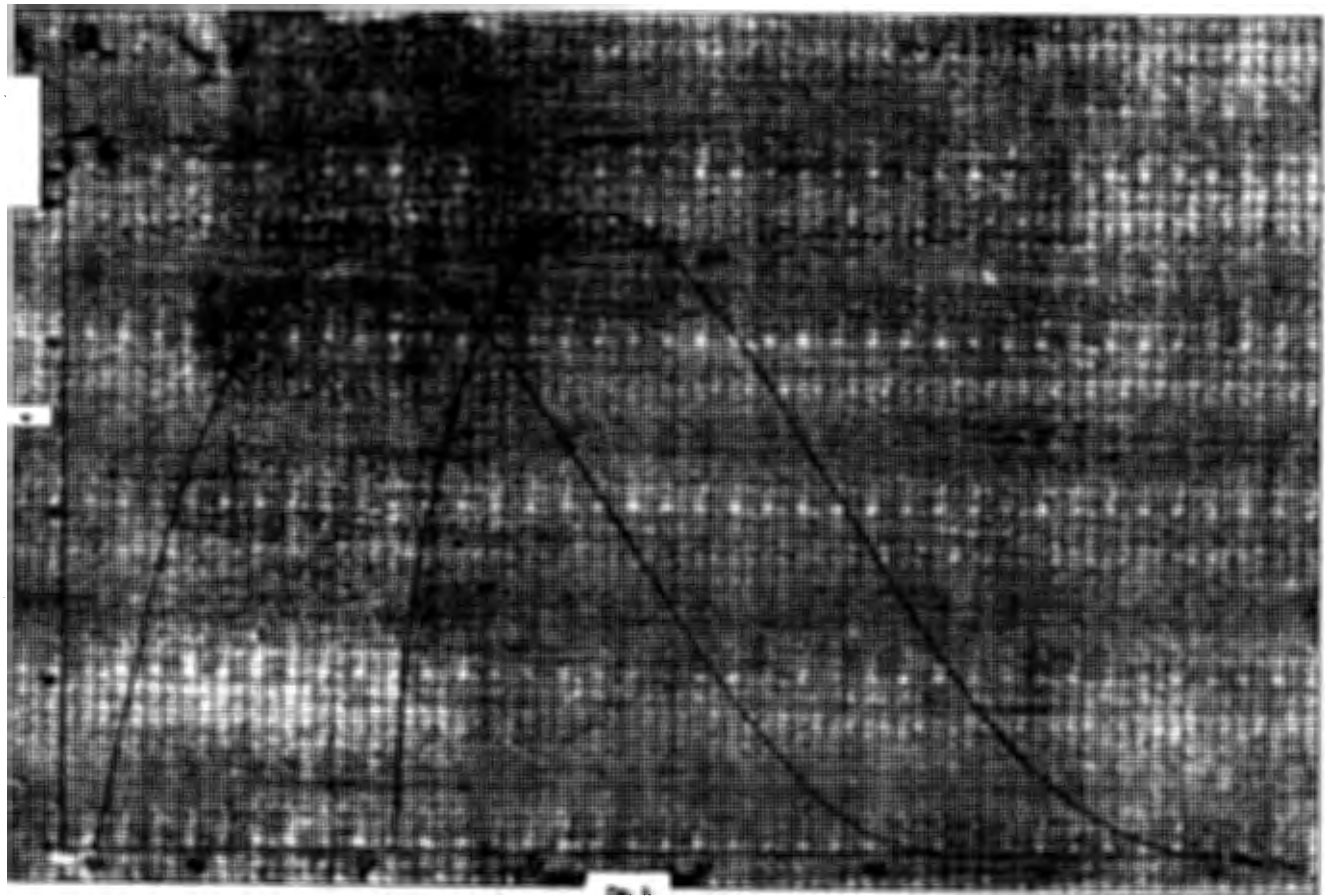
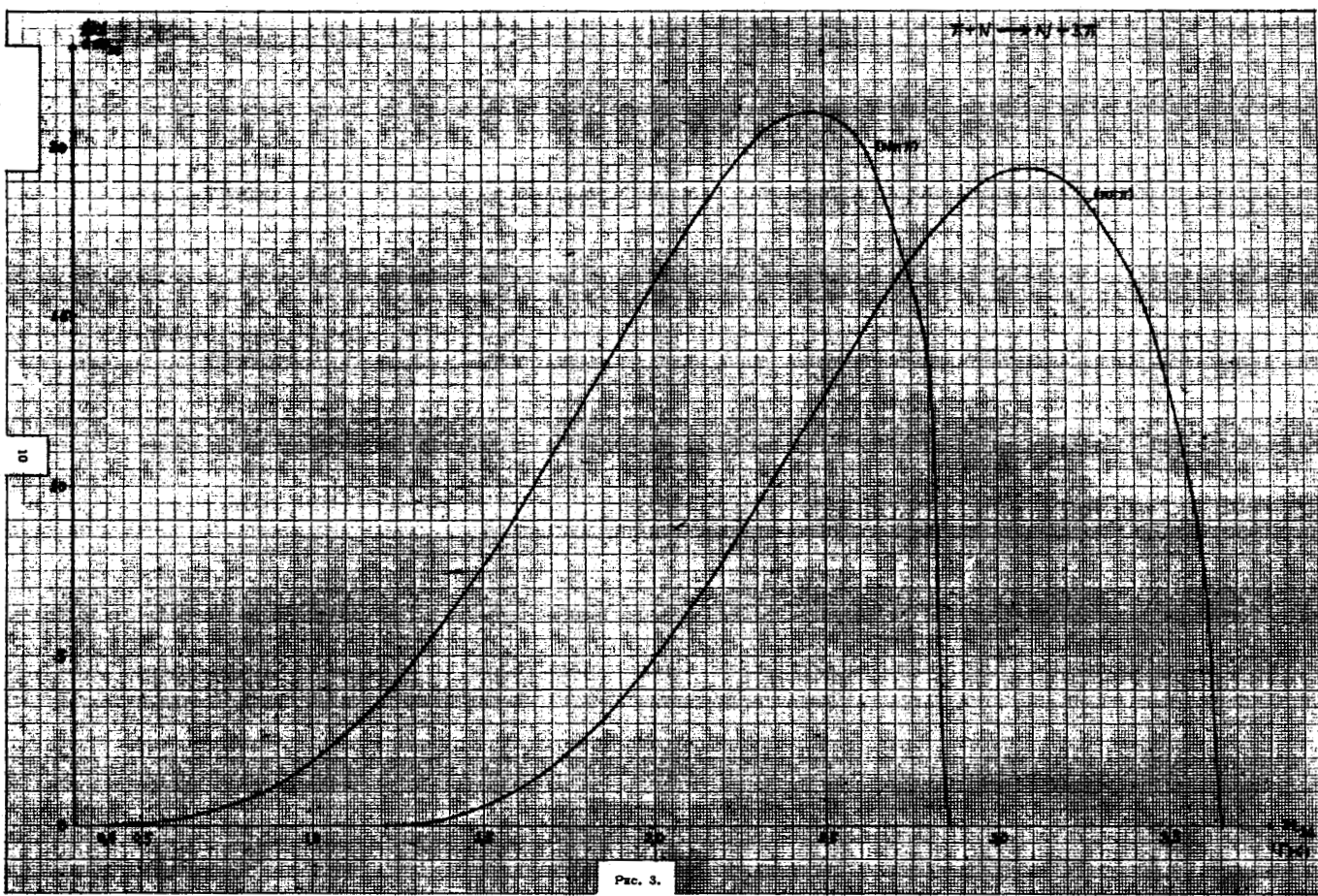


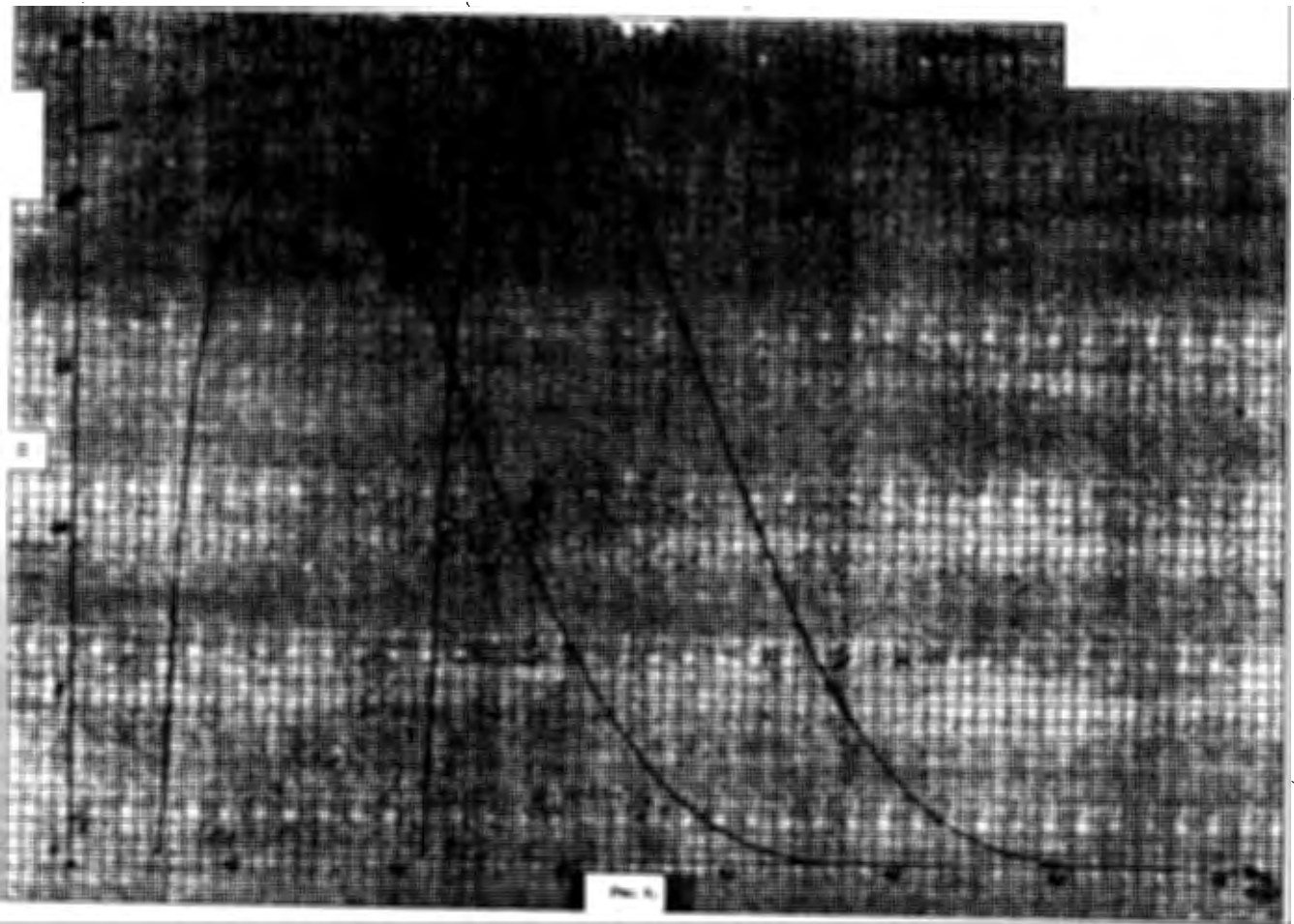
FIG. 1.

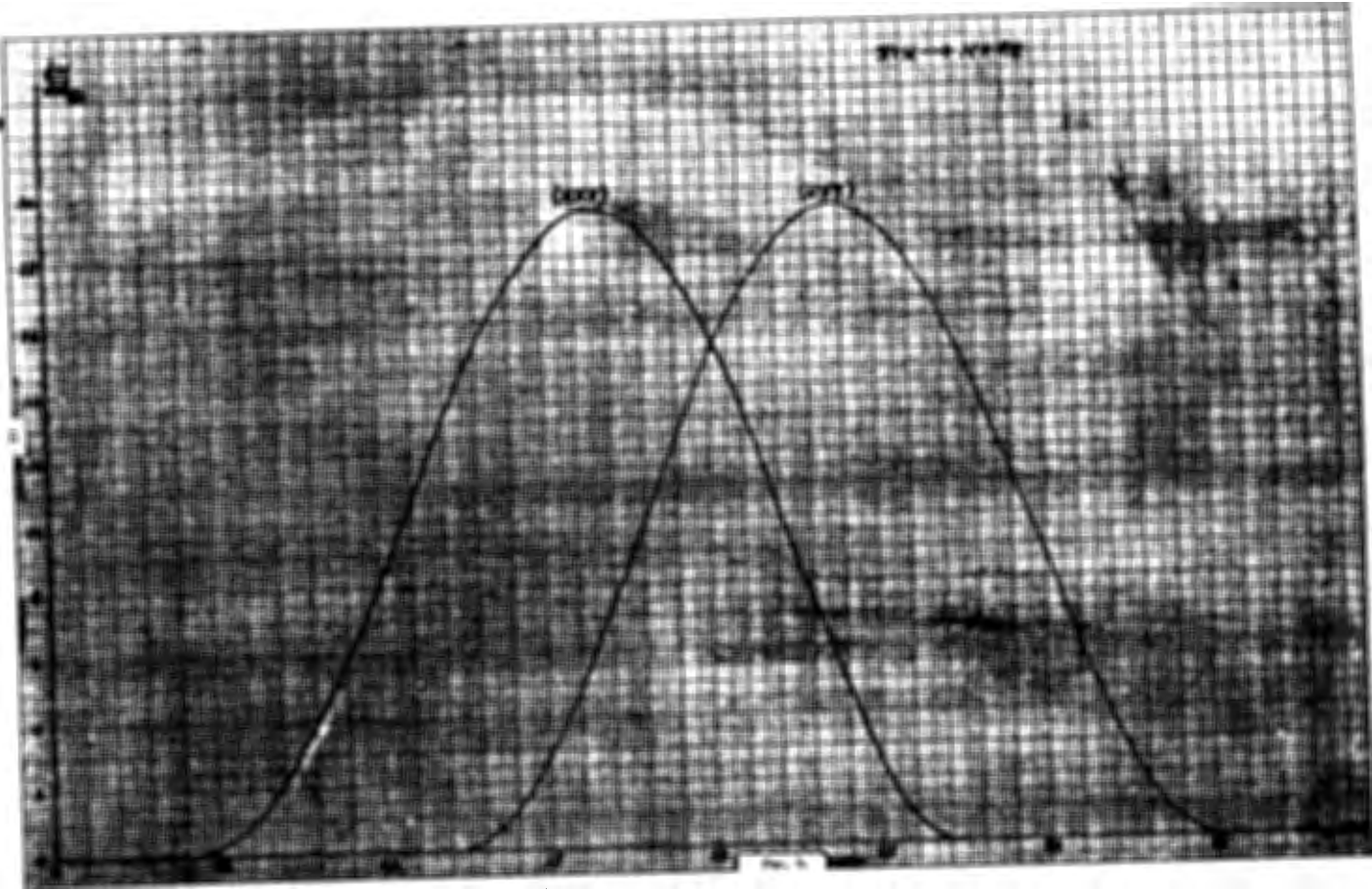


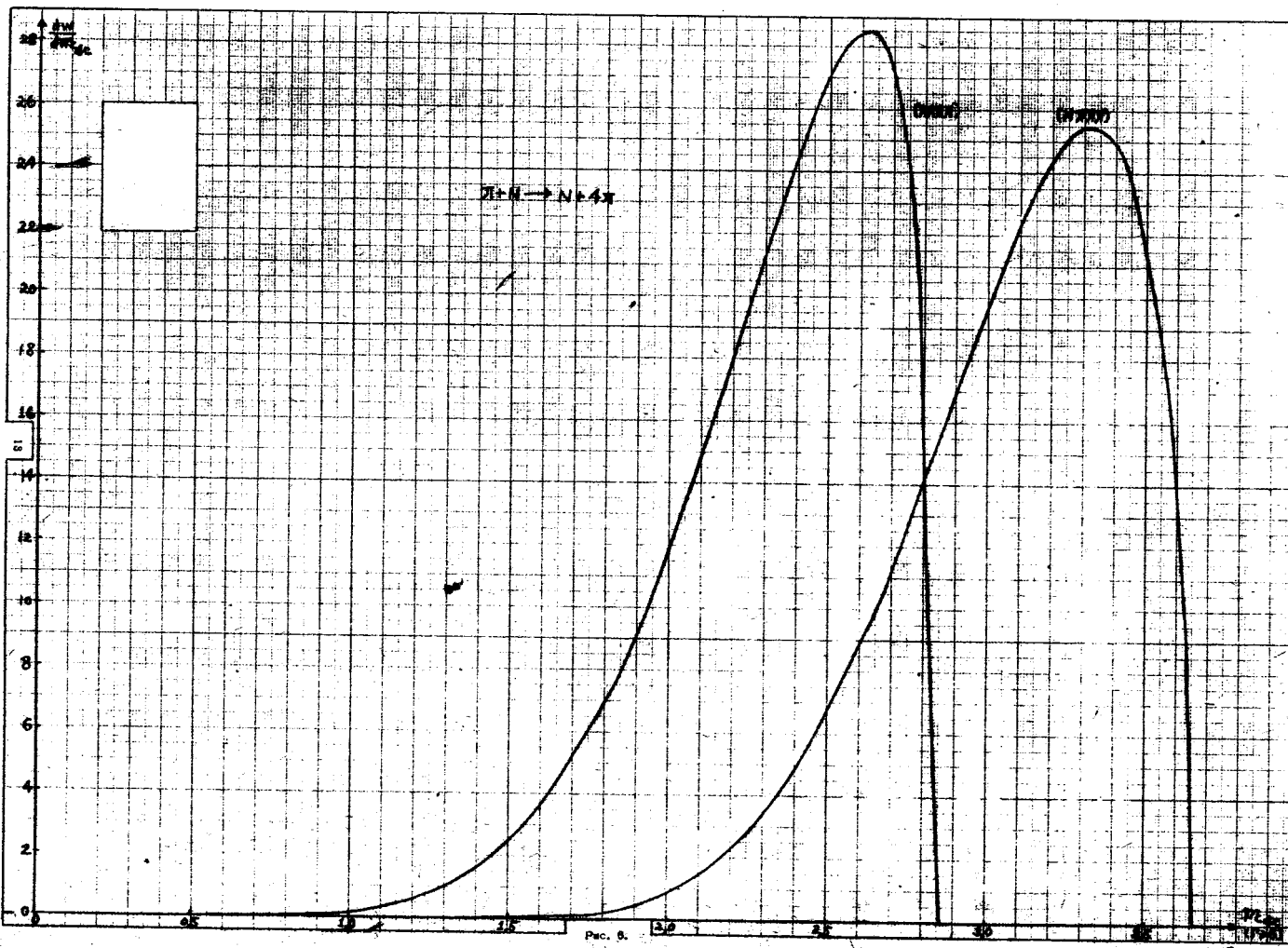


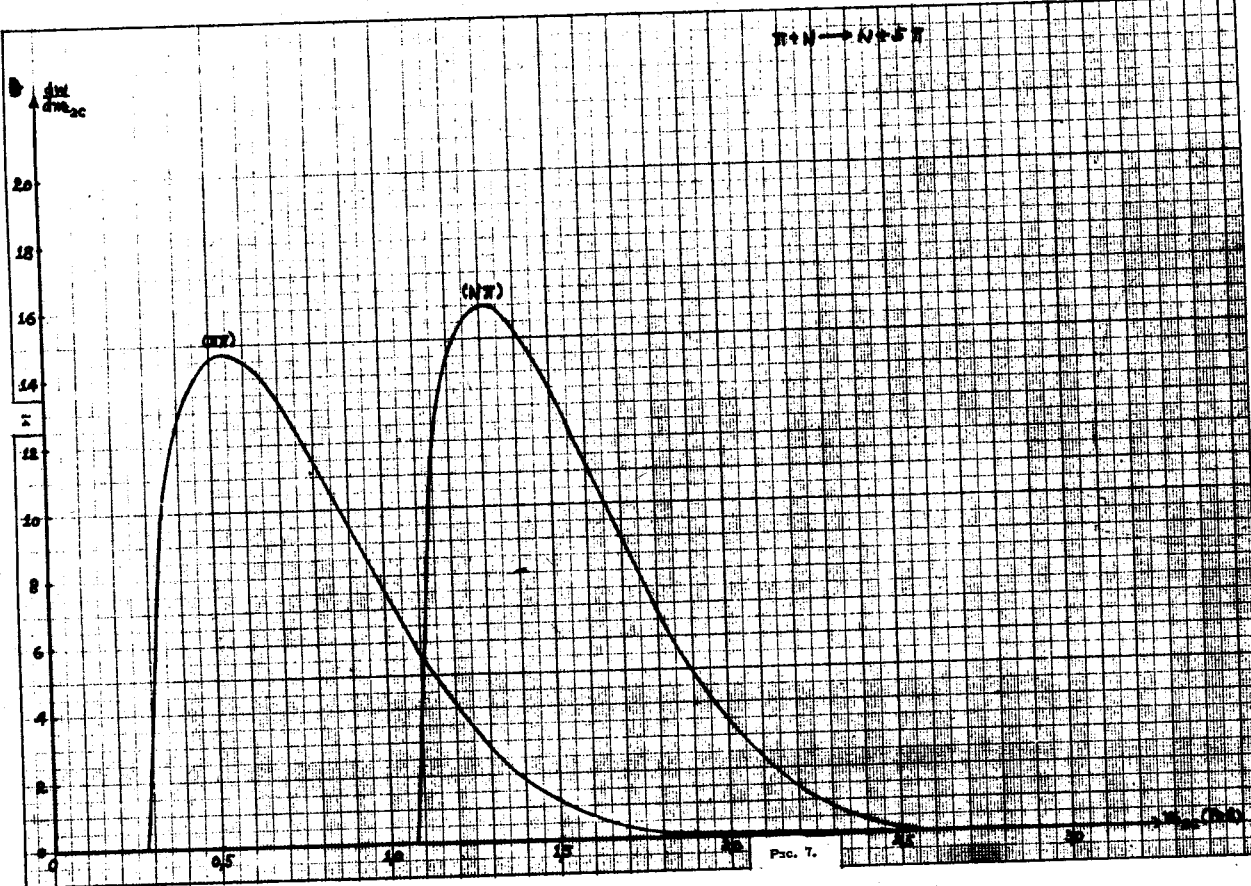
$\pi \rightarrow N \rightarrow N + \Delta$

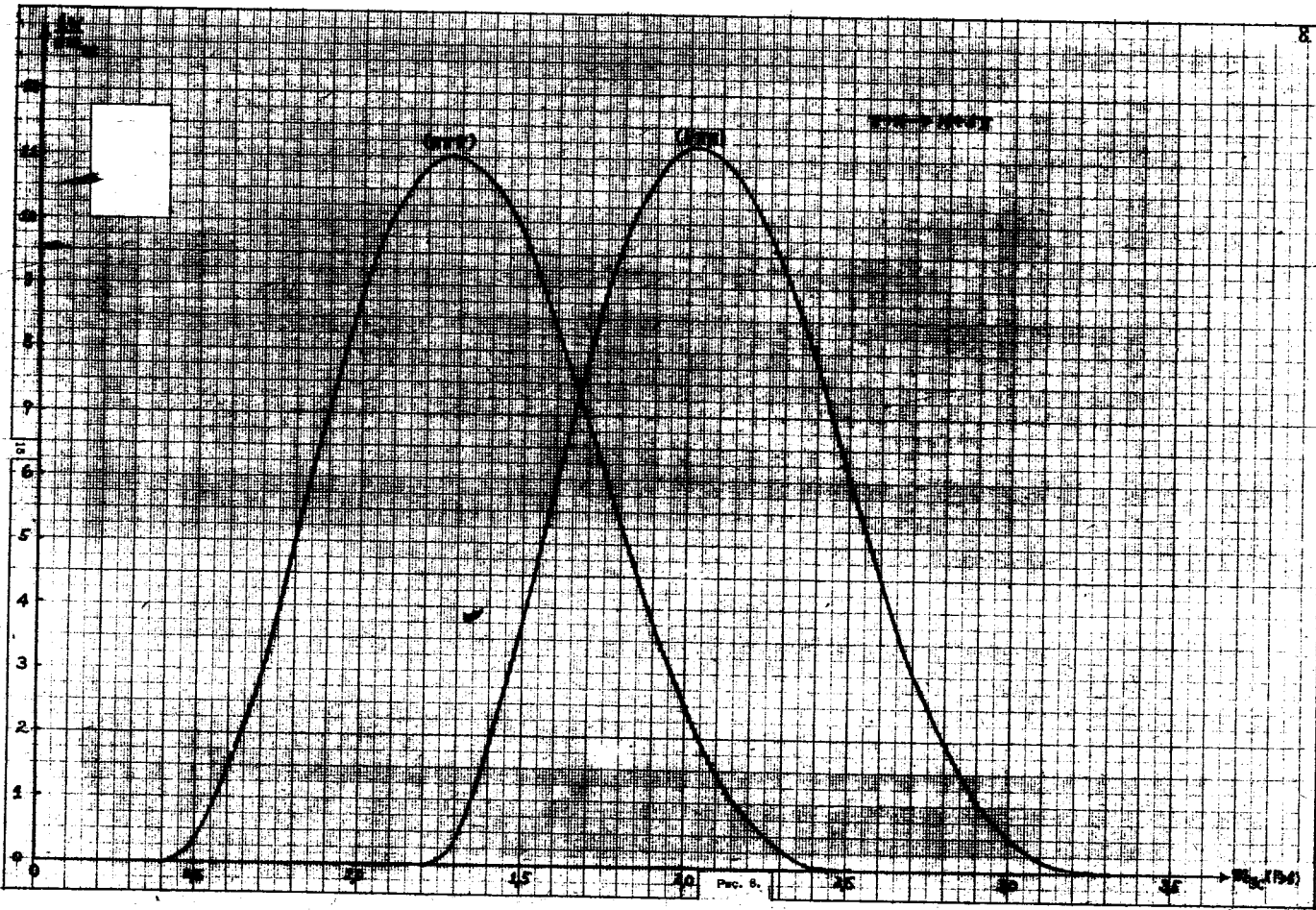












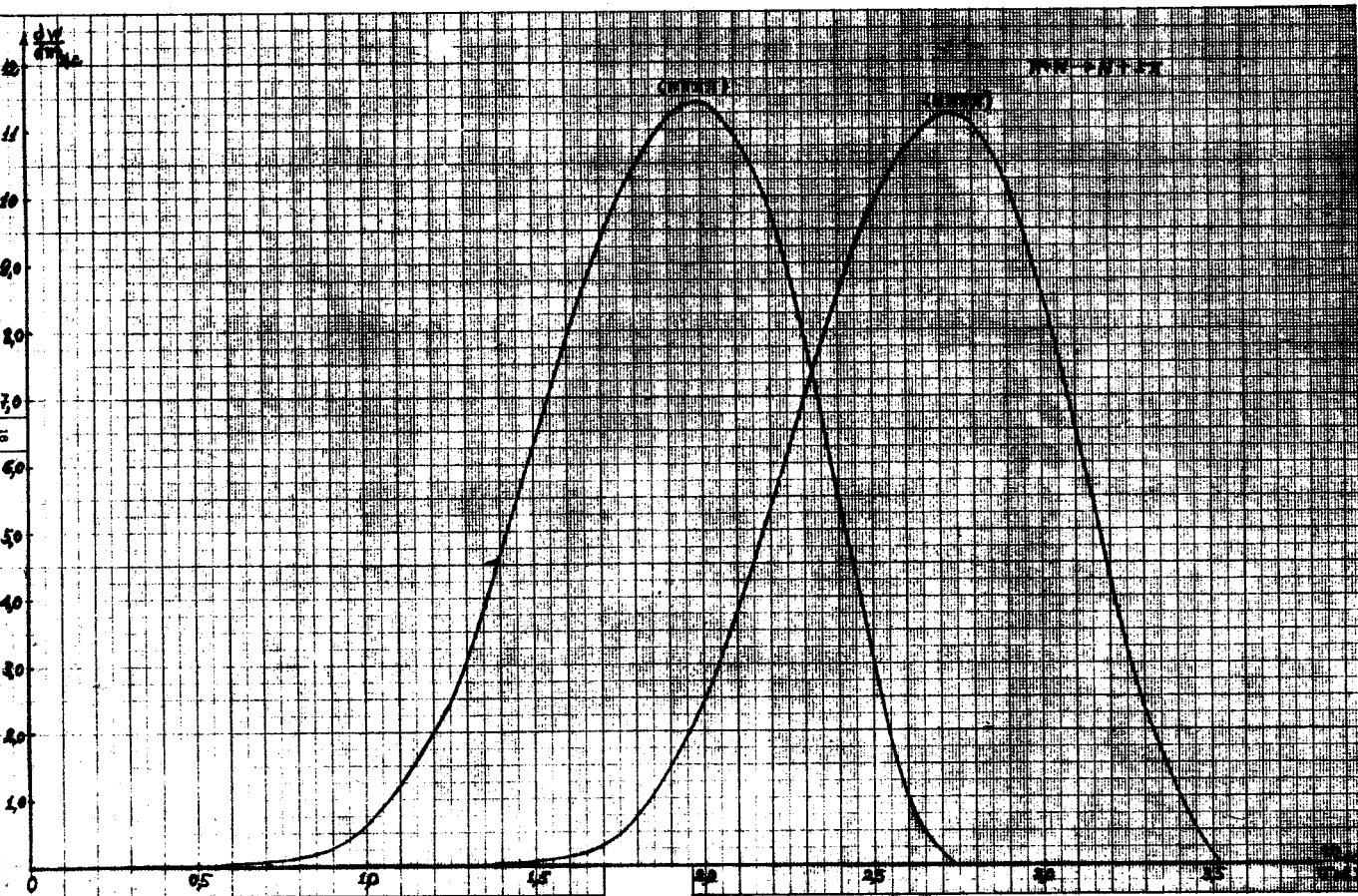


FIG. 6.

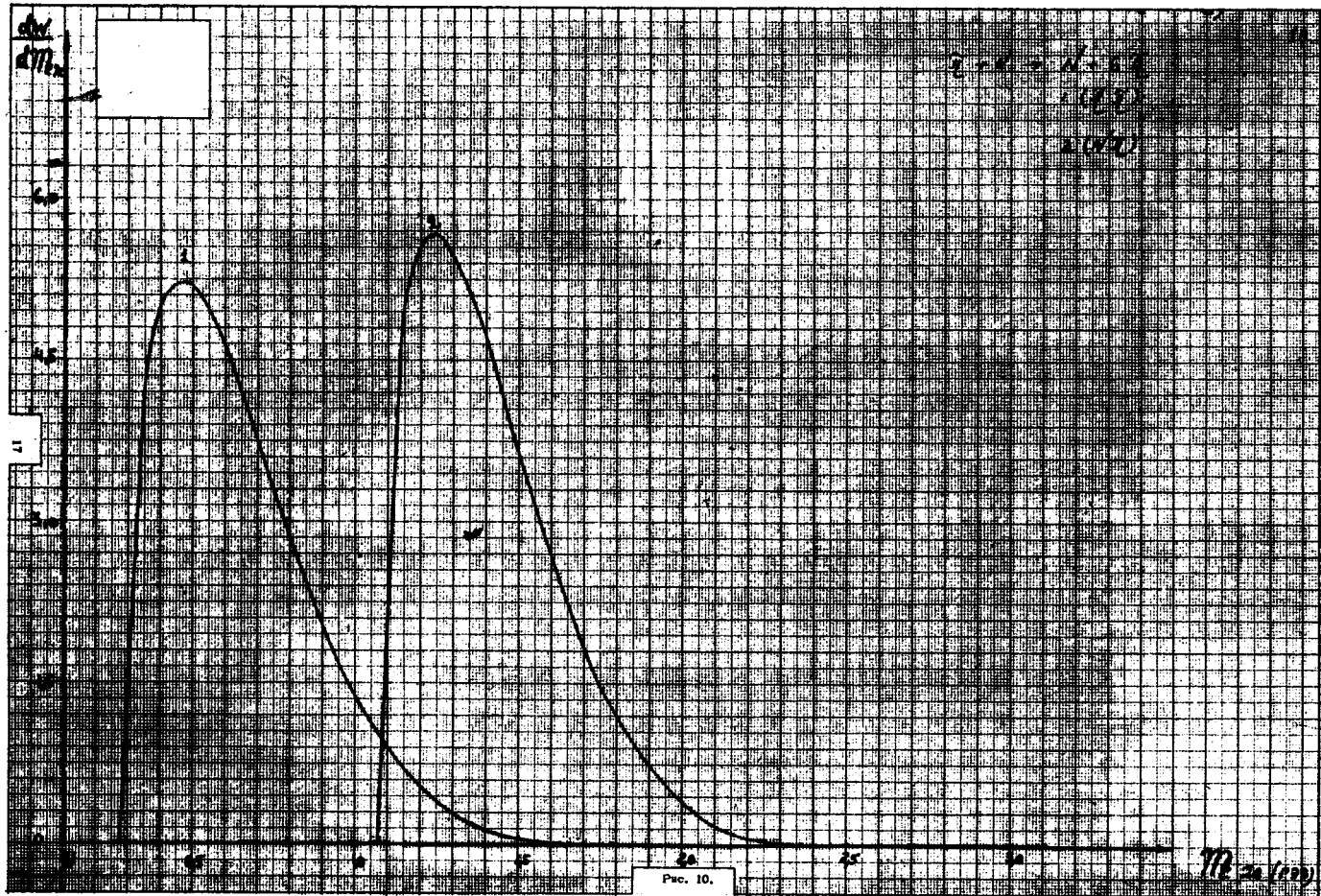


Fig. 10.

112-20100

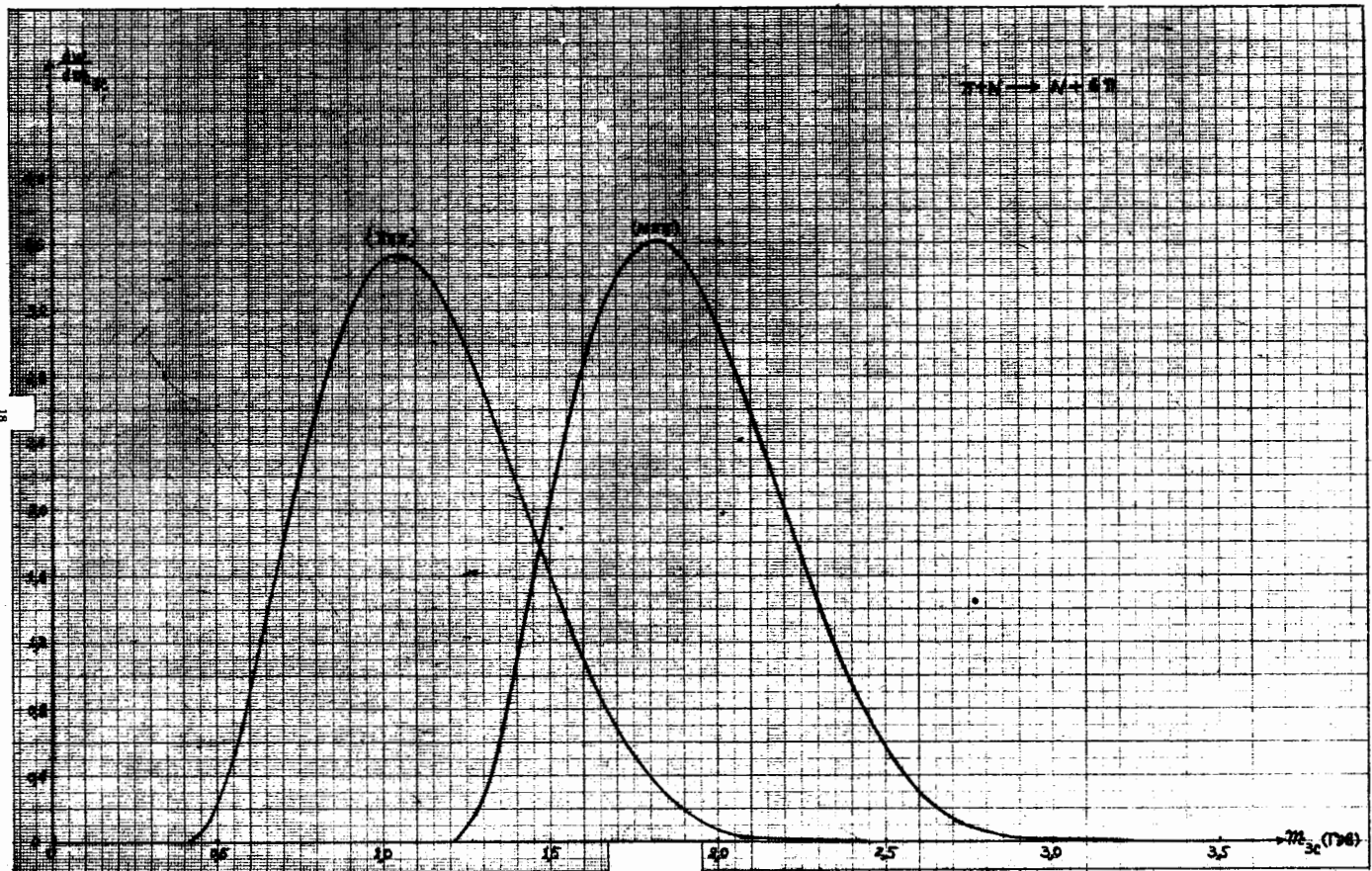


FIG. II.

61

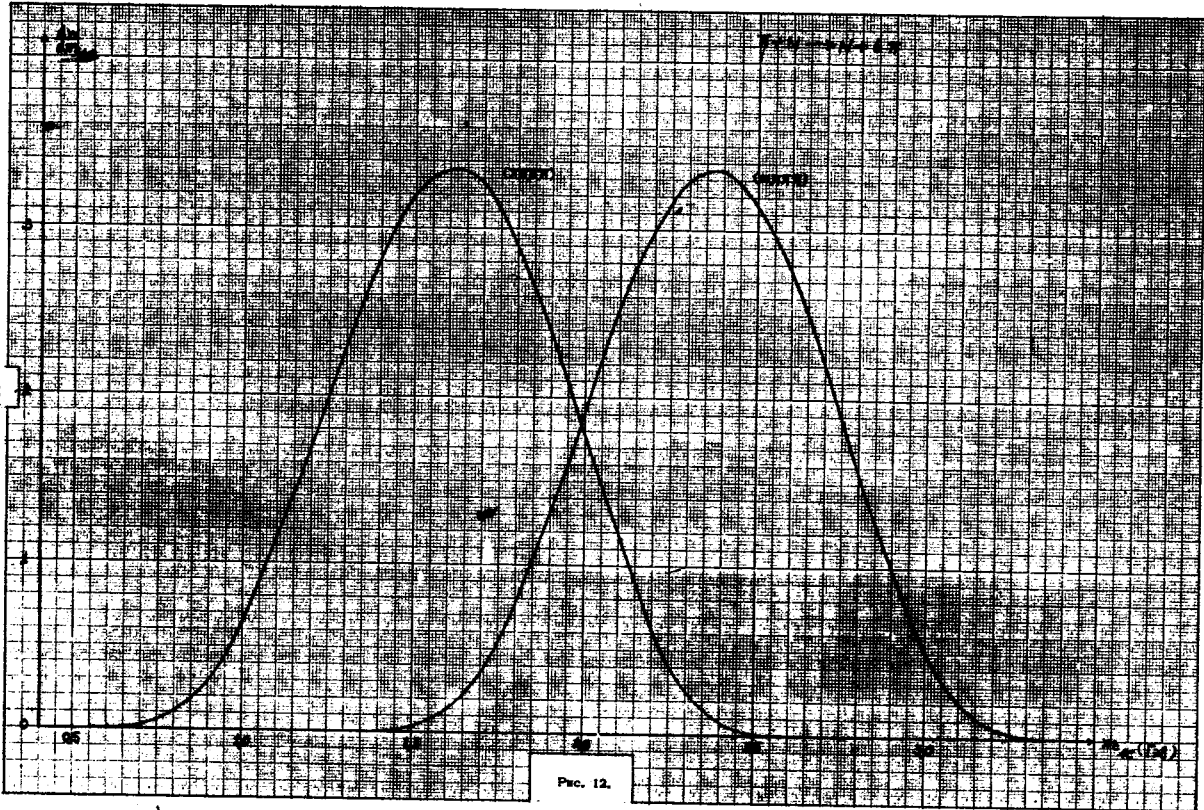
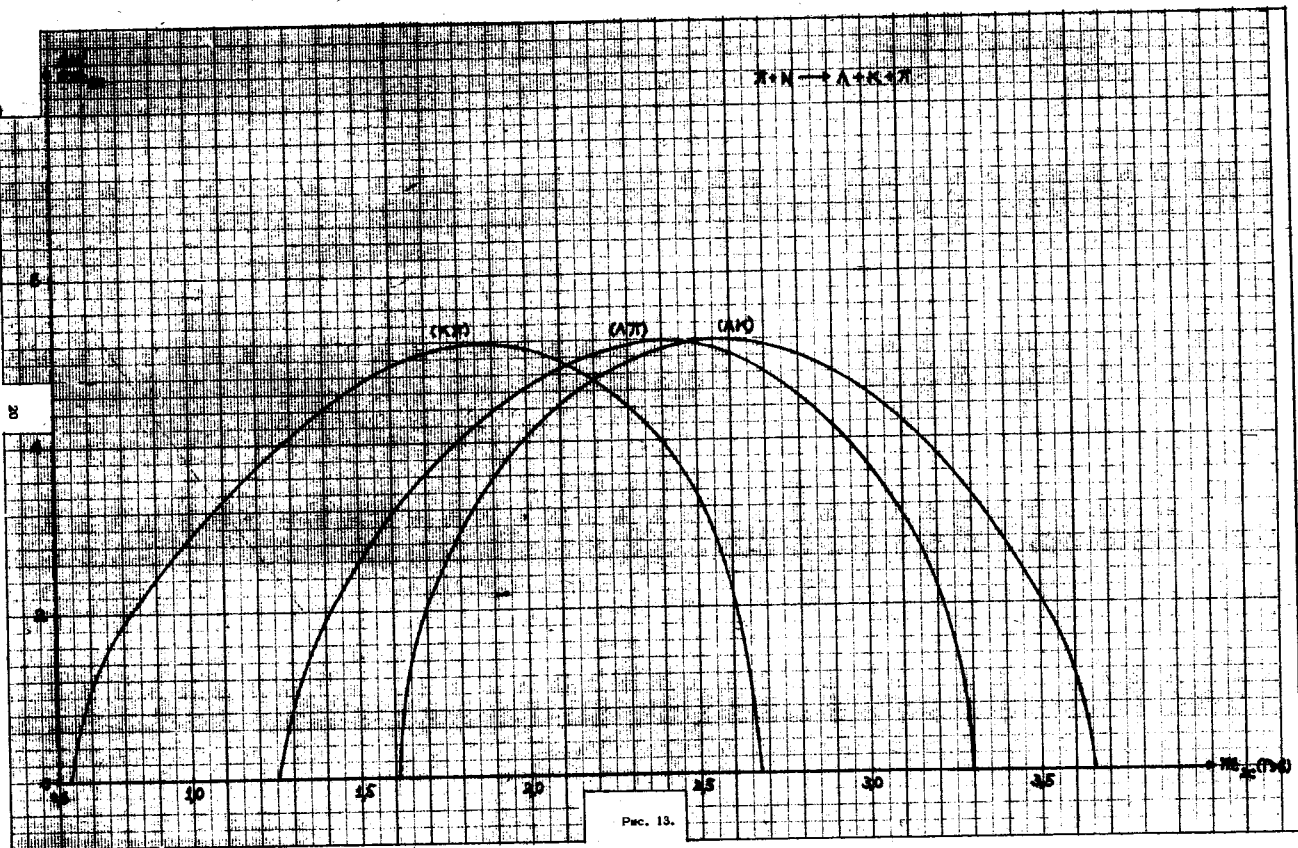


FIG. 12.

$\pi + N \rightarrow \Lambda + K\bar{K}$

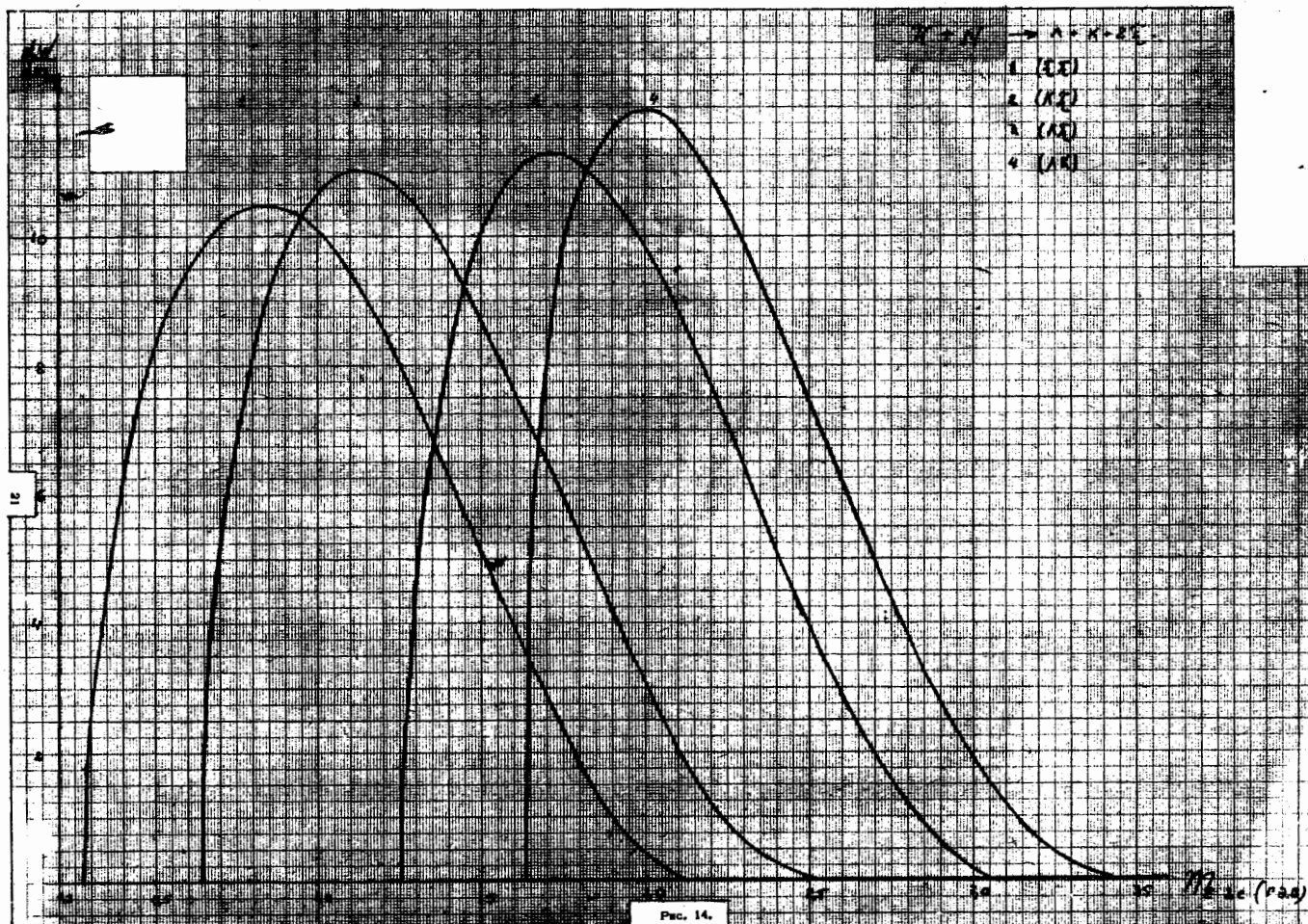


Pec. 13.

$\theta = 0^\circ$

$\rightarrow \lambda = K + E$

- 1 (E)
- 2 (K)
- 3 (A)
- 4 (B)



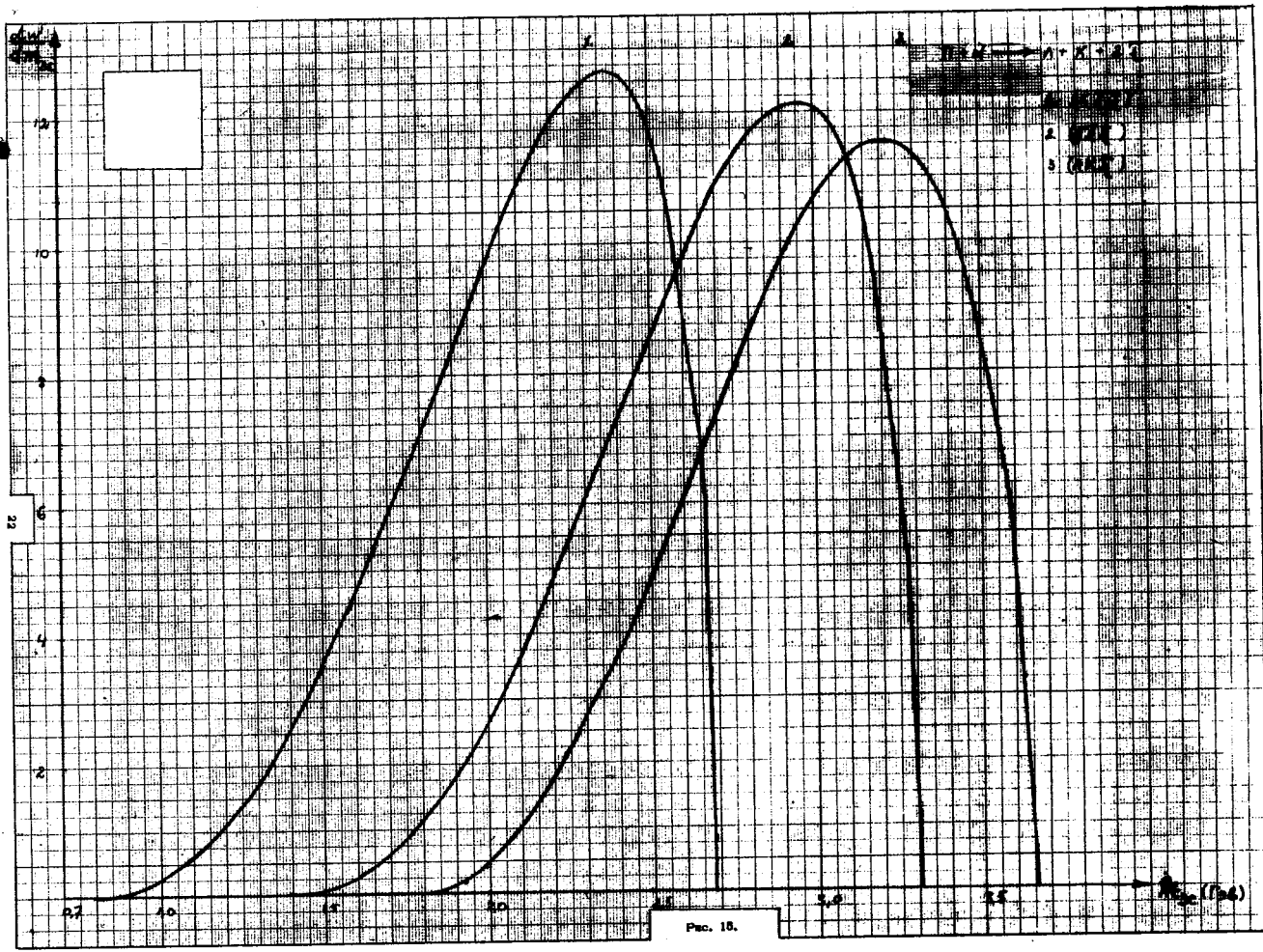
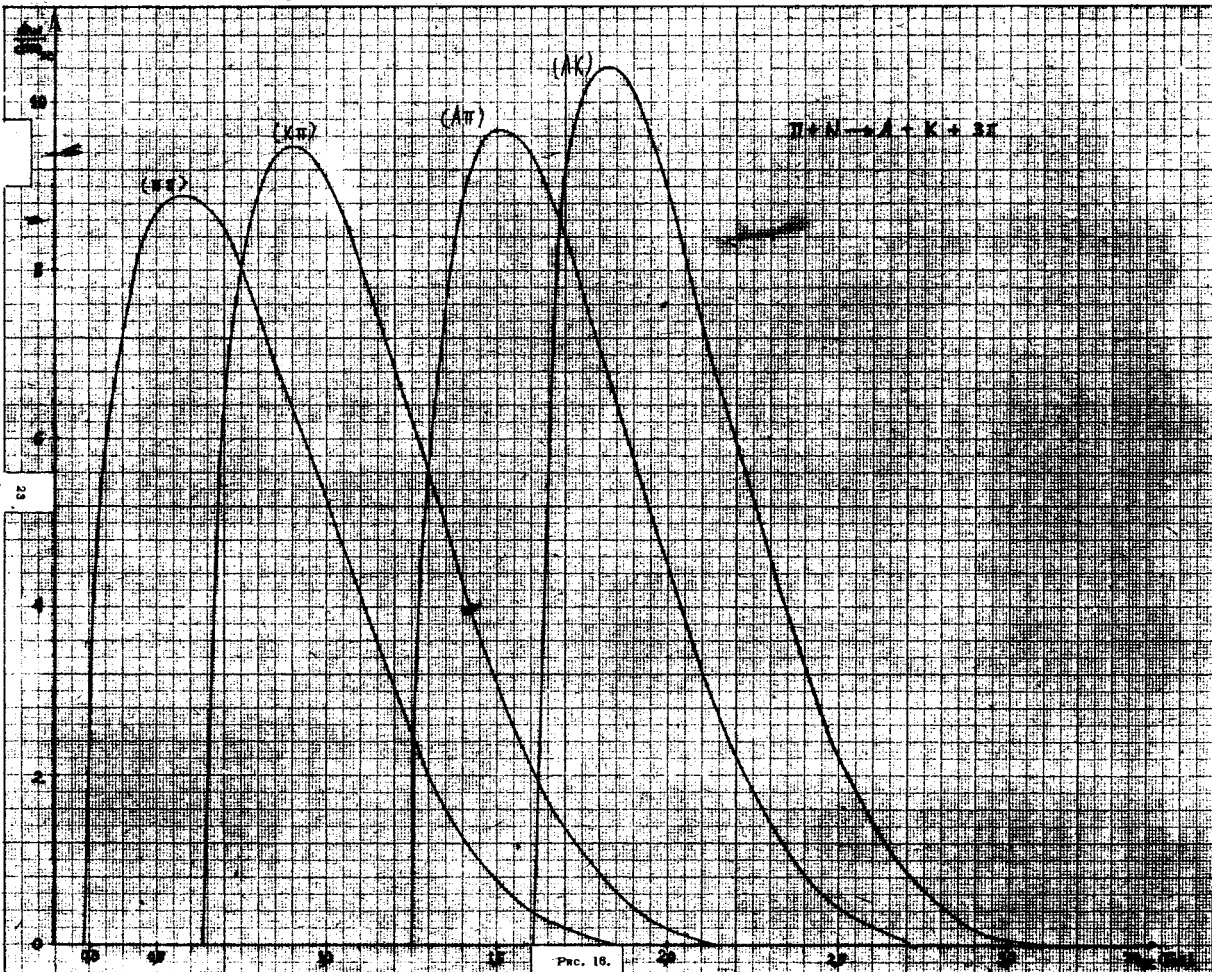


FIG. 18.



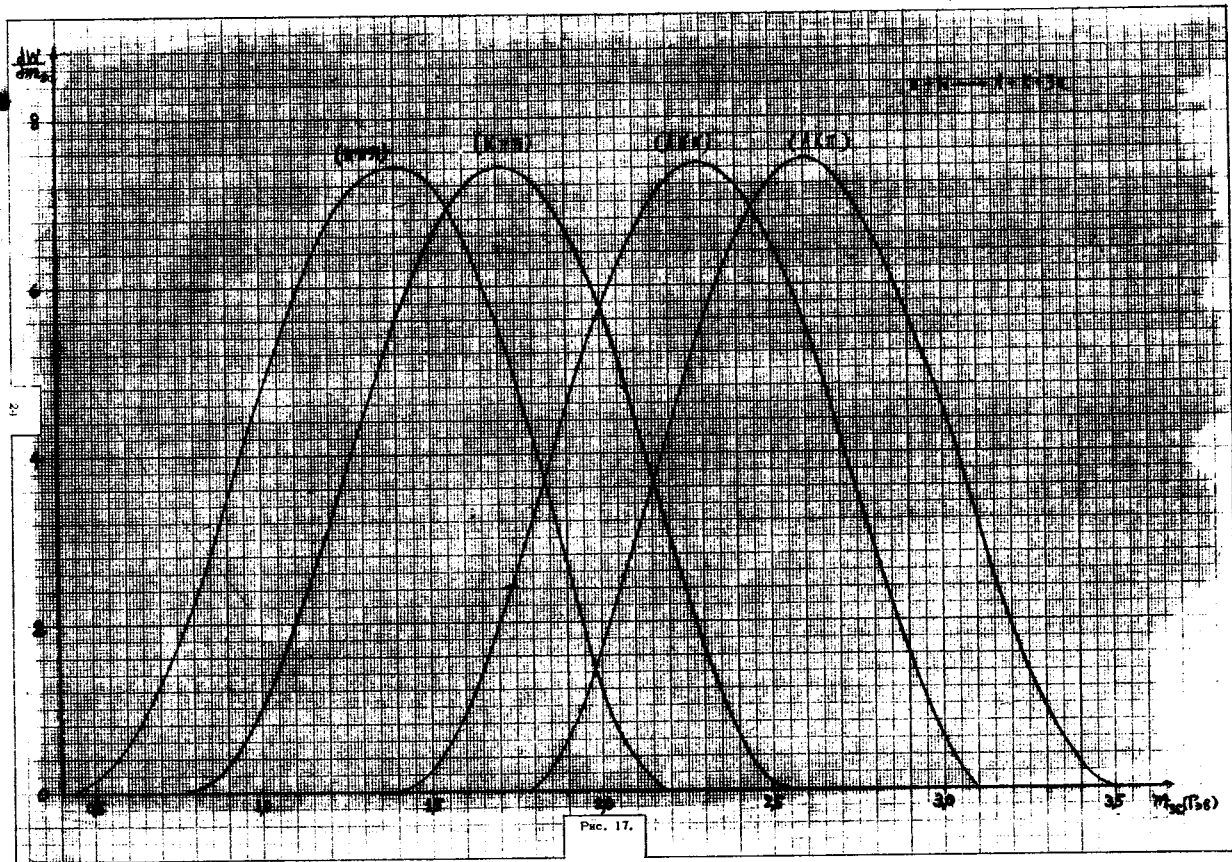
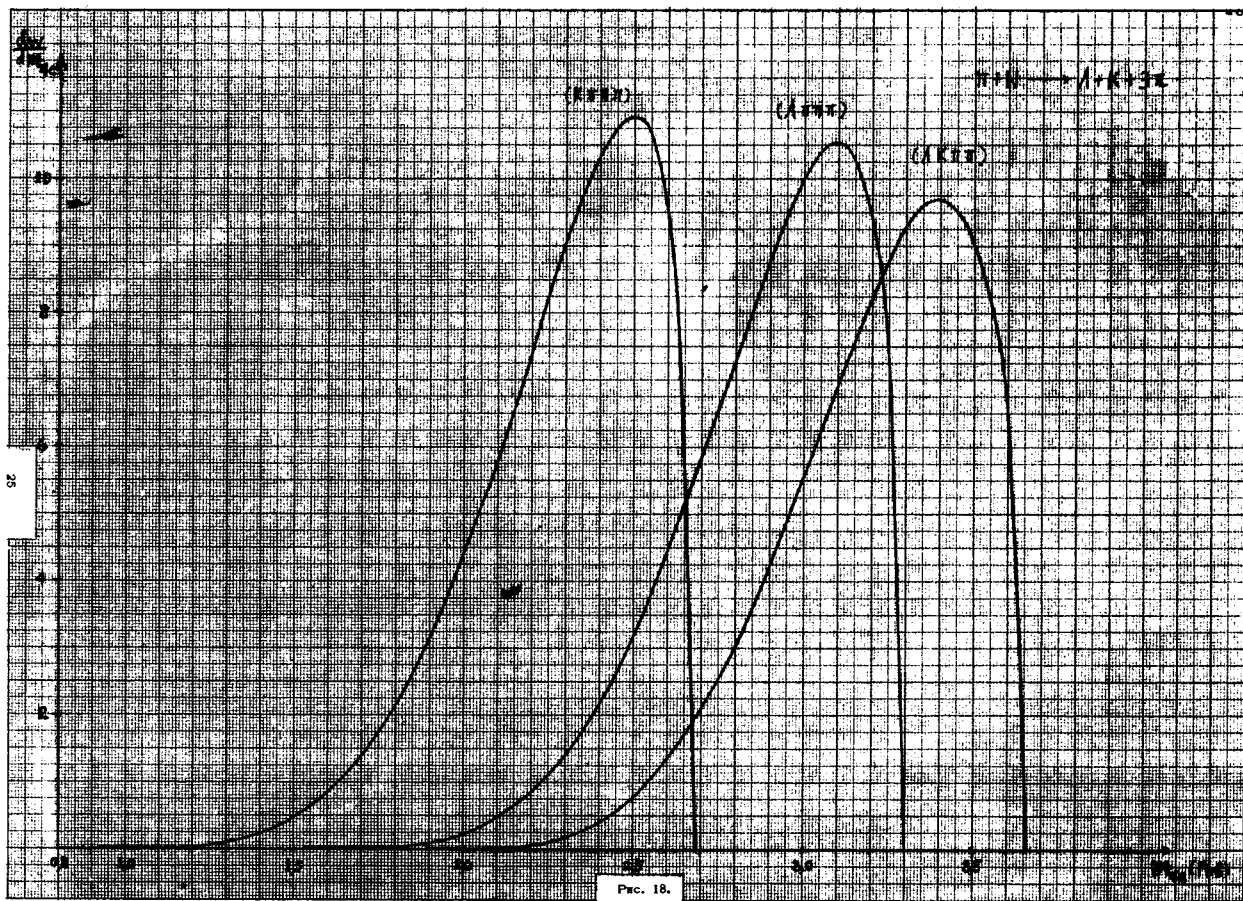
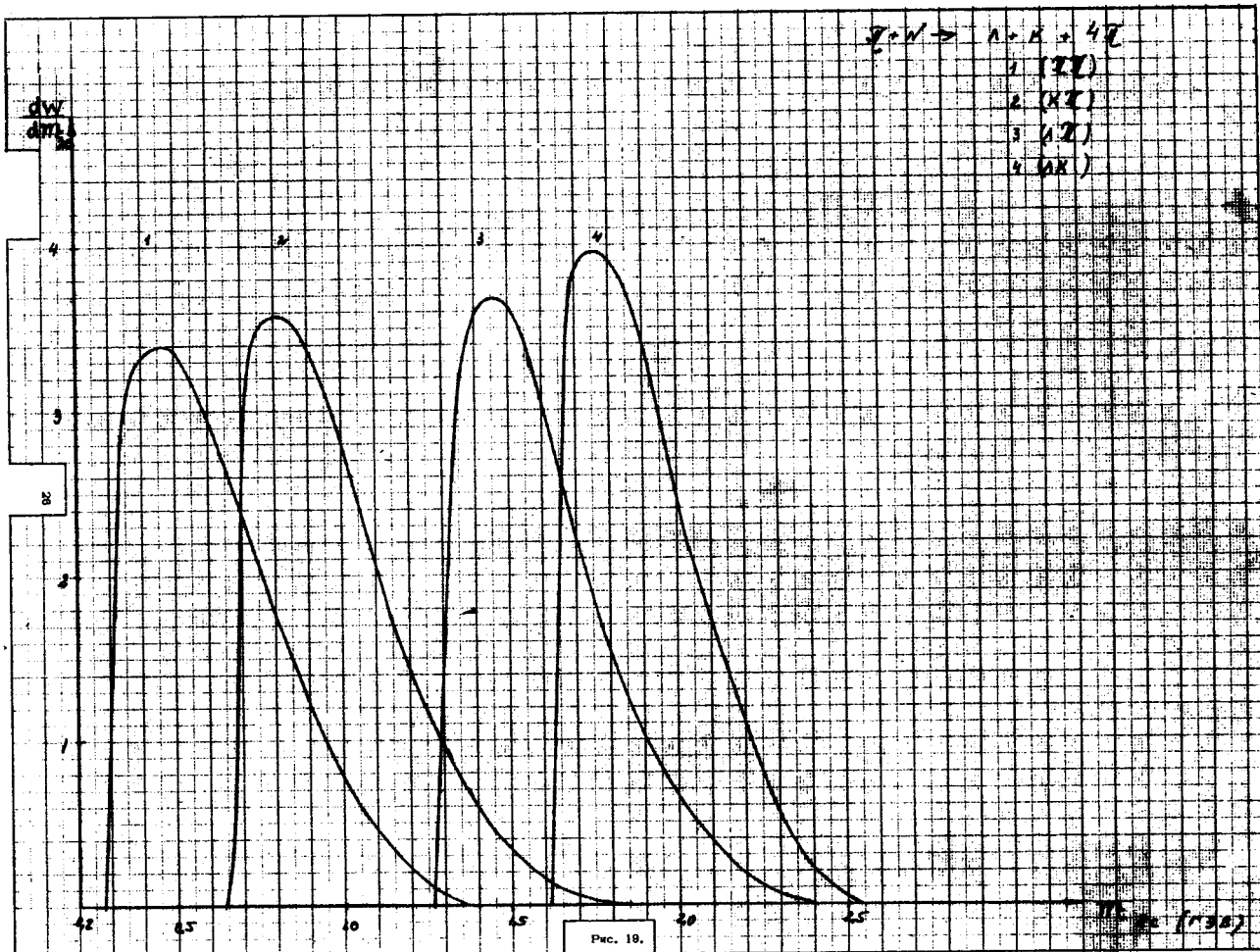
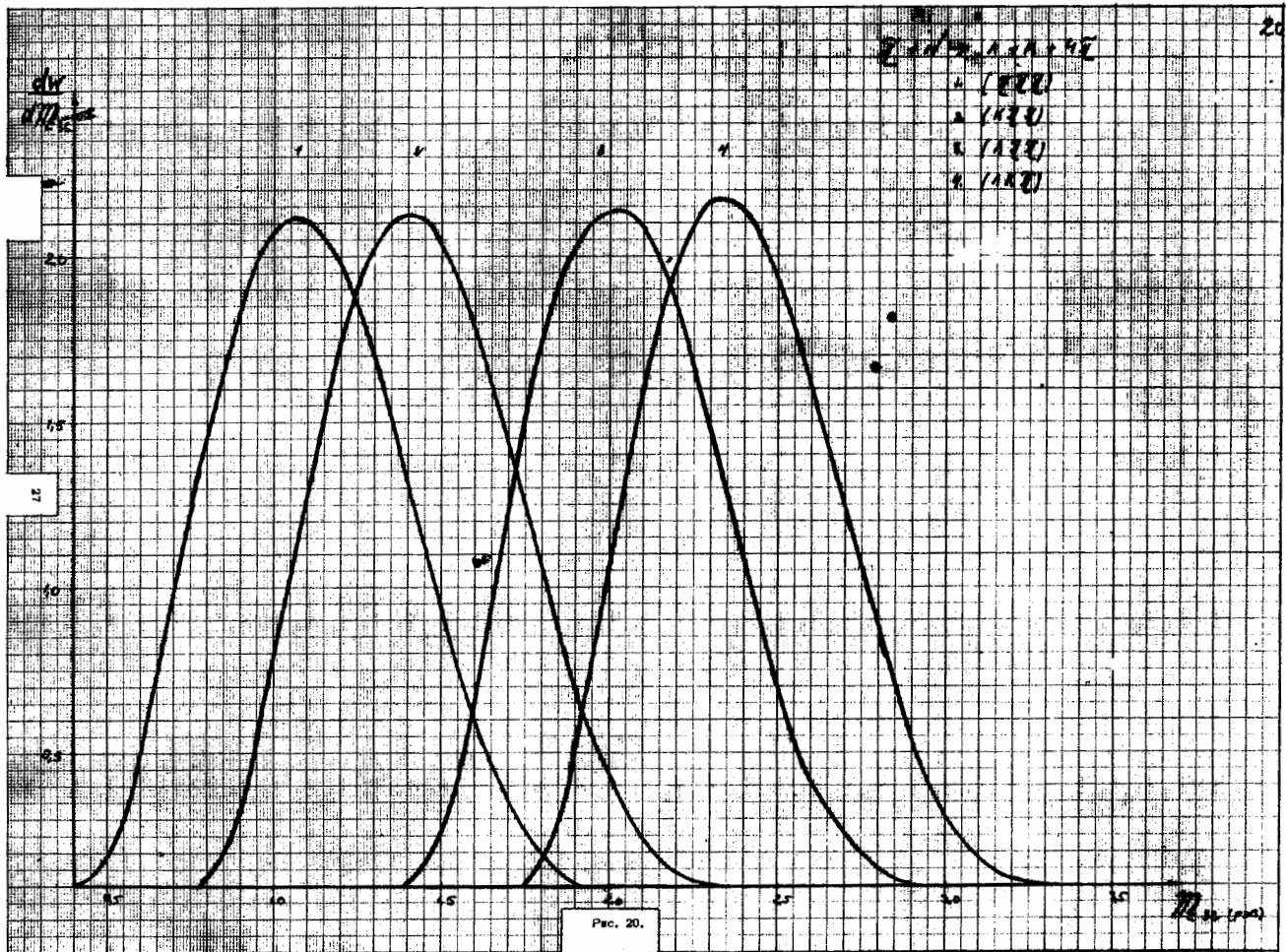
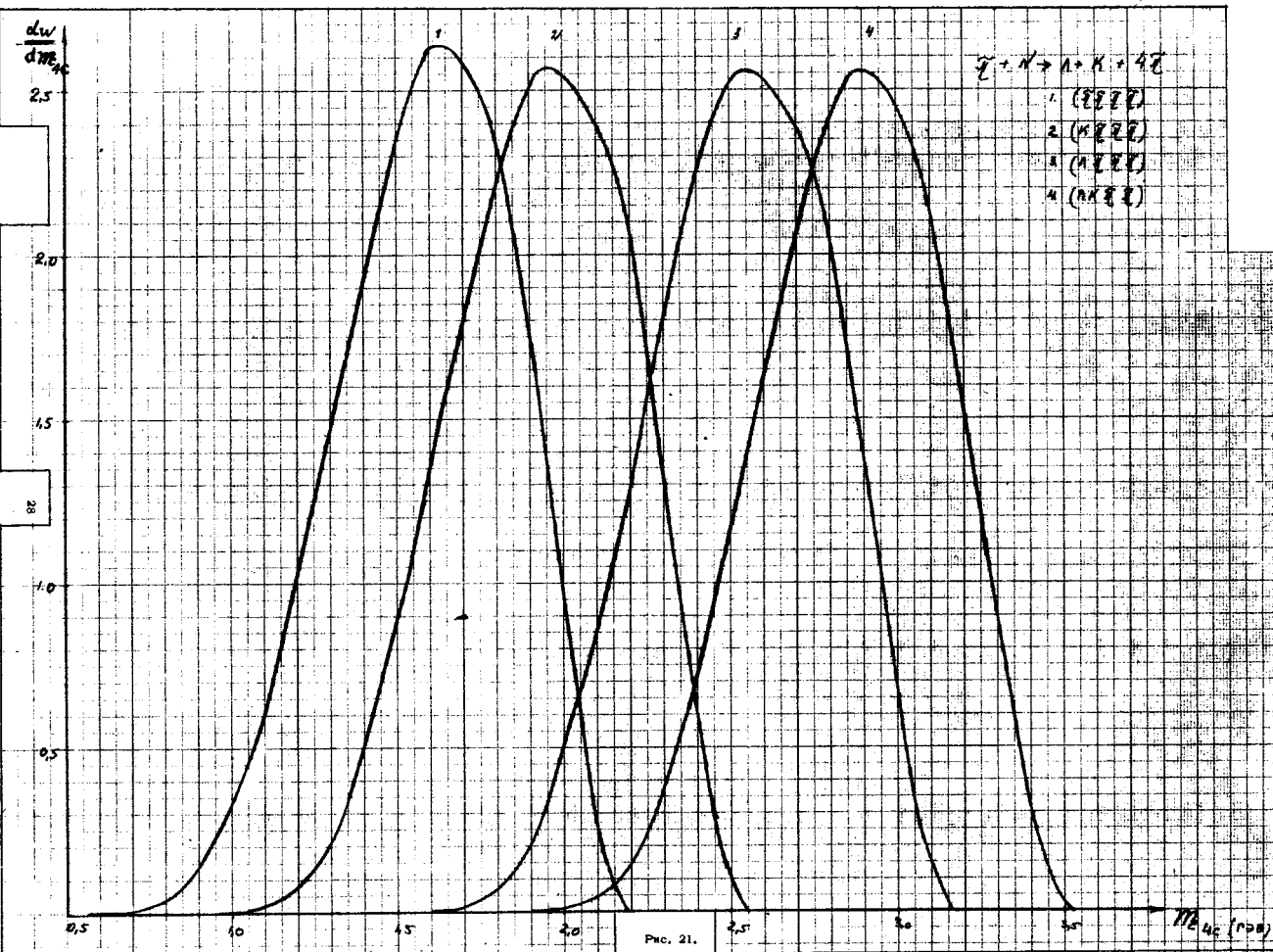


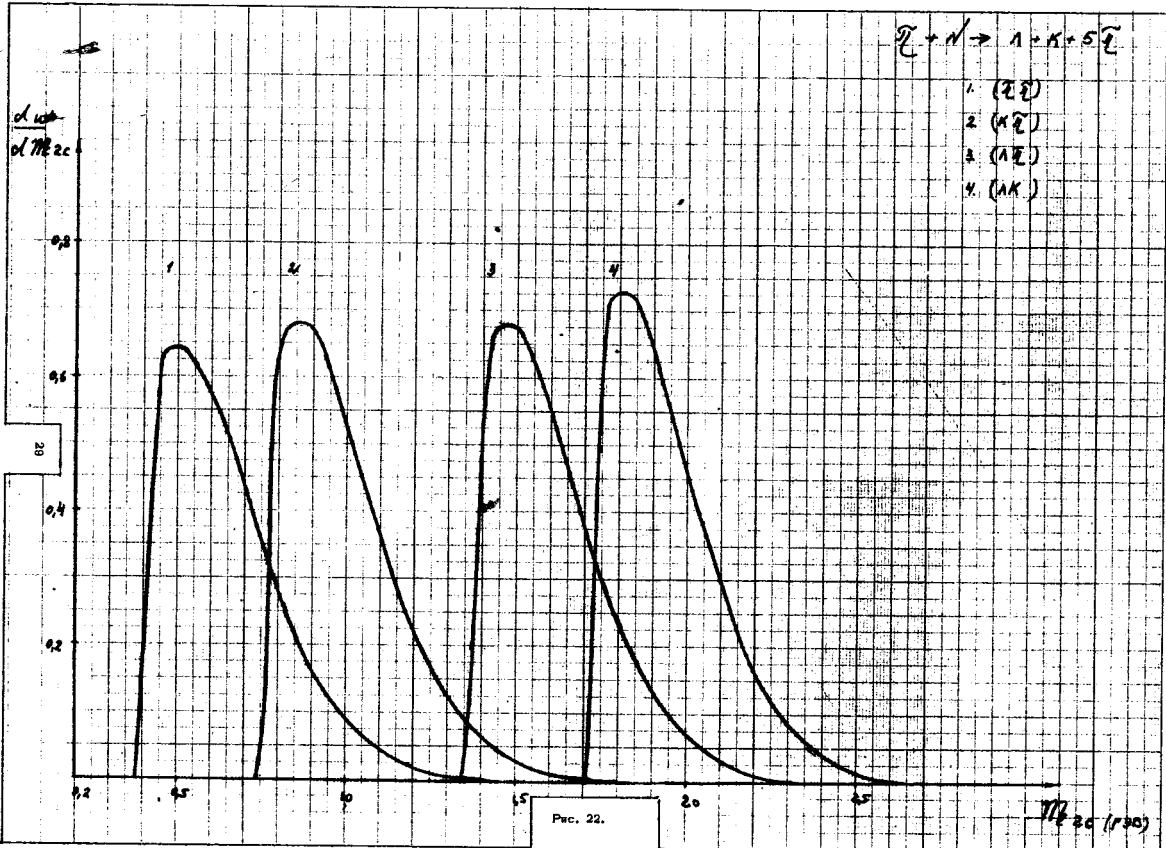
FIG. 17.











$$Z = \sqrt{1 + \frac{1}{4} \left( \frac{1}{\sin^2 \theta} - 1 \right)}$$

- (111)
- (122)
- (133)
- ( $\bar{1}\bar{1}\bar{1}$ )

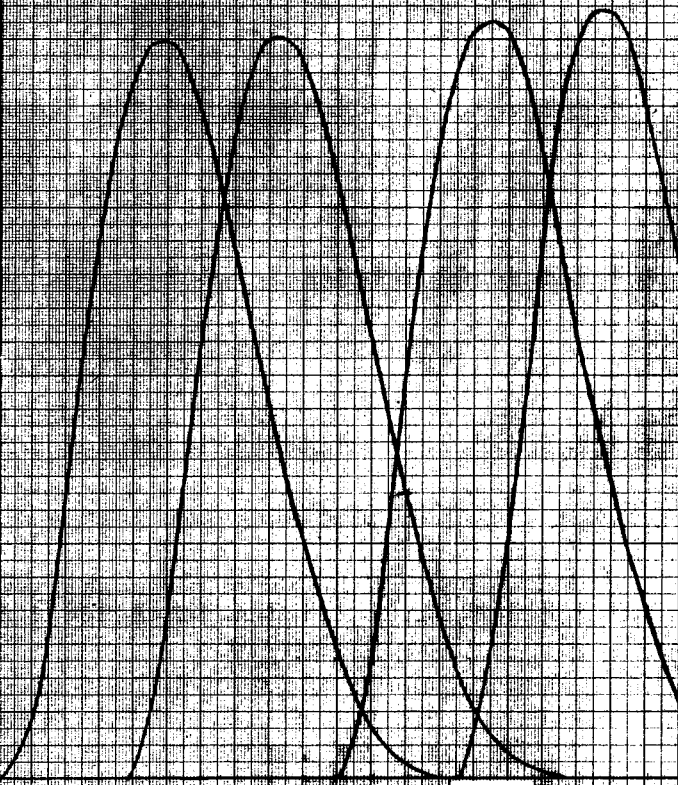
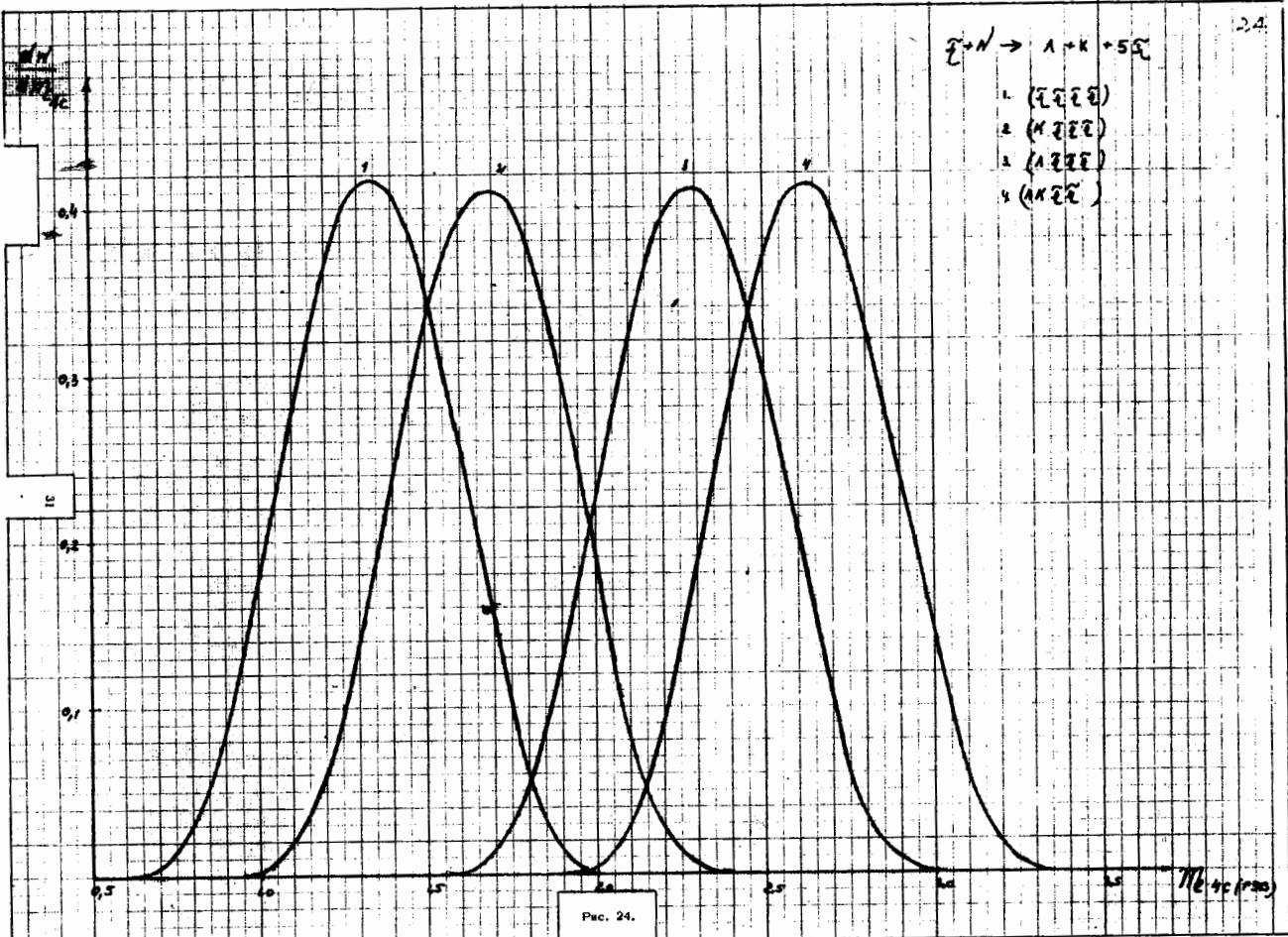


FIG. 23.

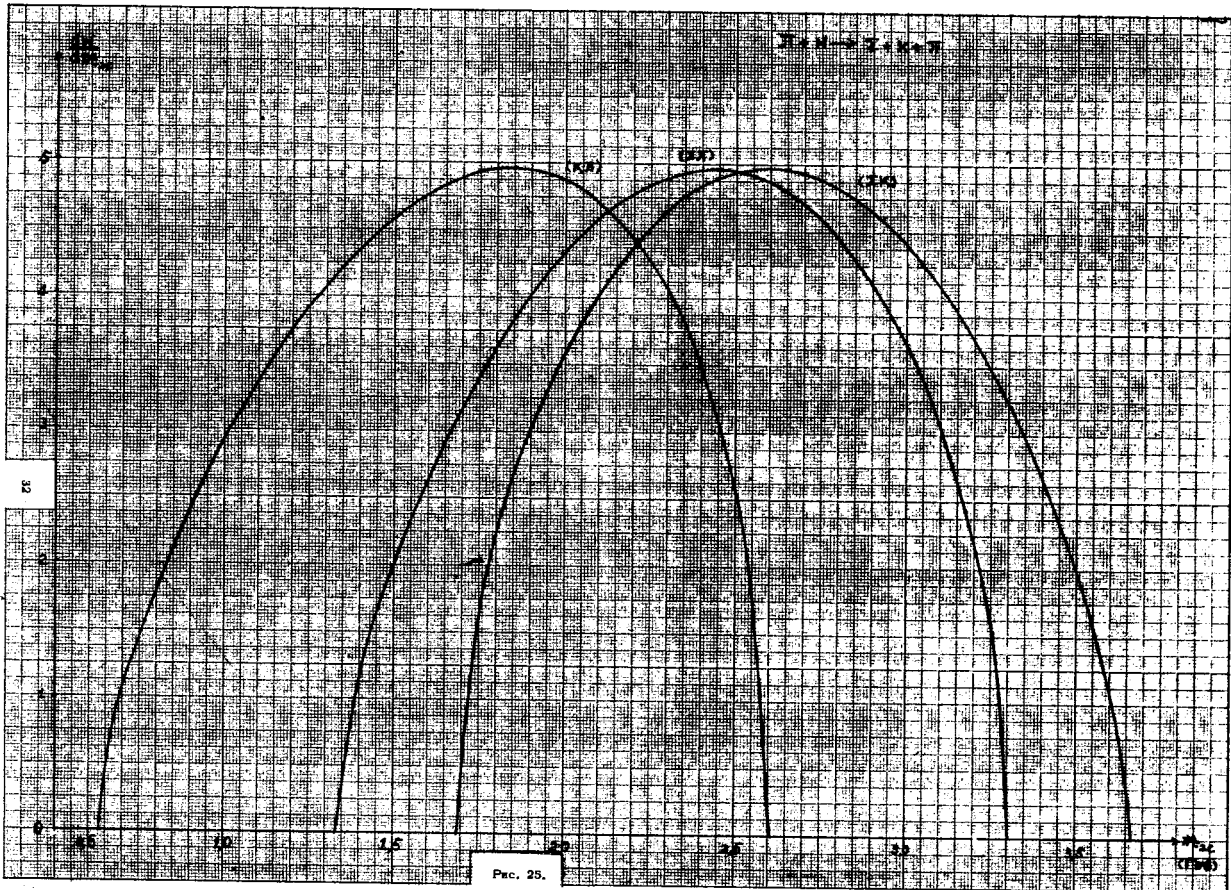
Murray

$E \rightarrow N \rightarrow 1 \rightarrow K \rightarrow 5S$

1. (EEEEE)
2. (KKEEE)
3. (1222E)
4. (KKKEE)



Pic. 24.



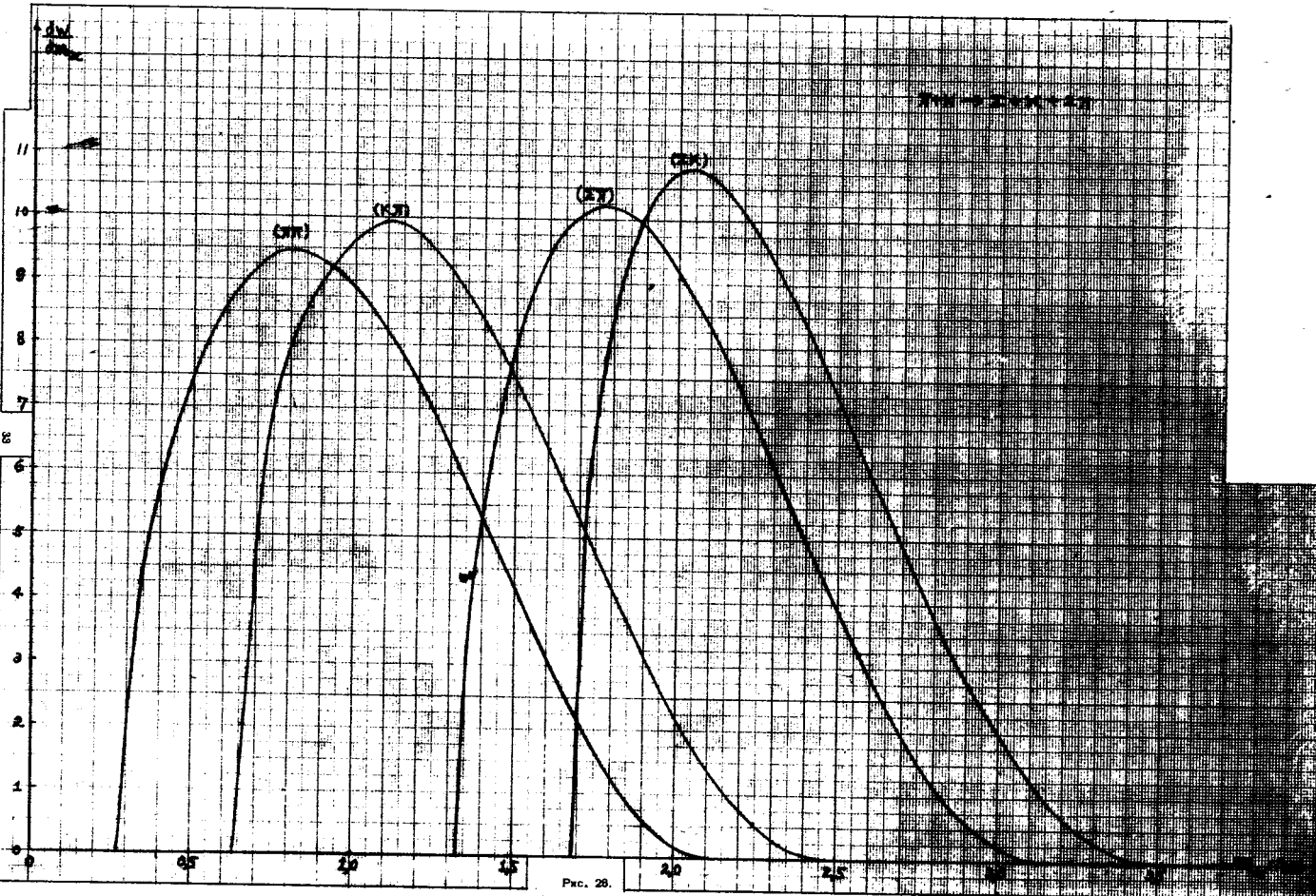
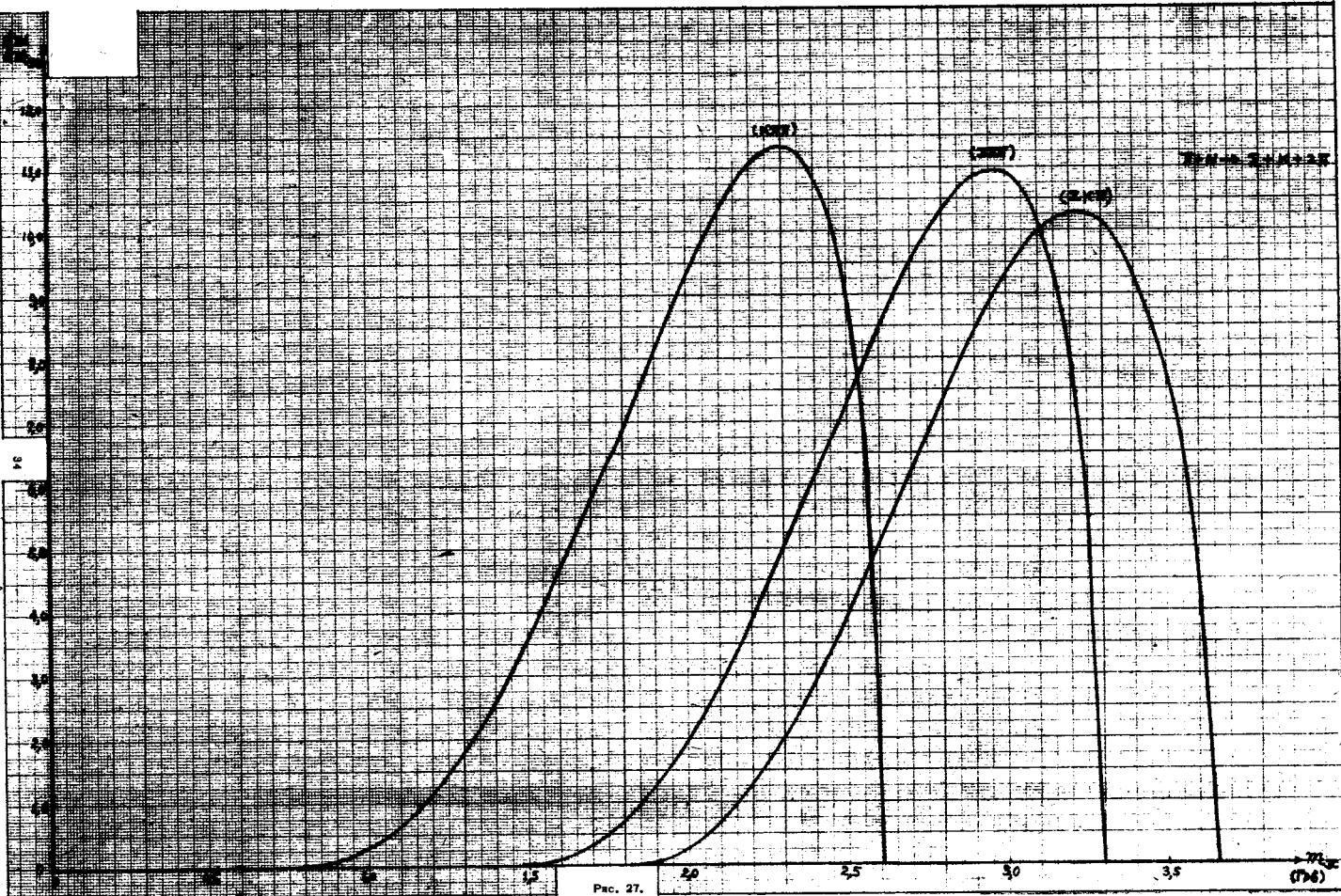
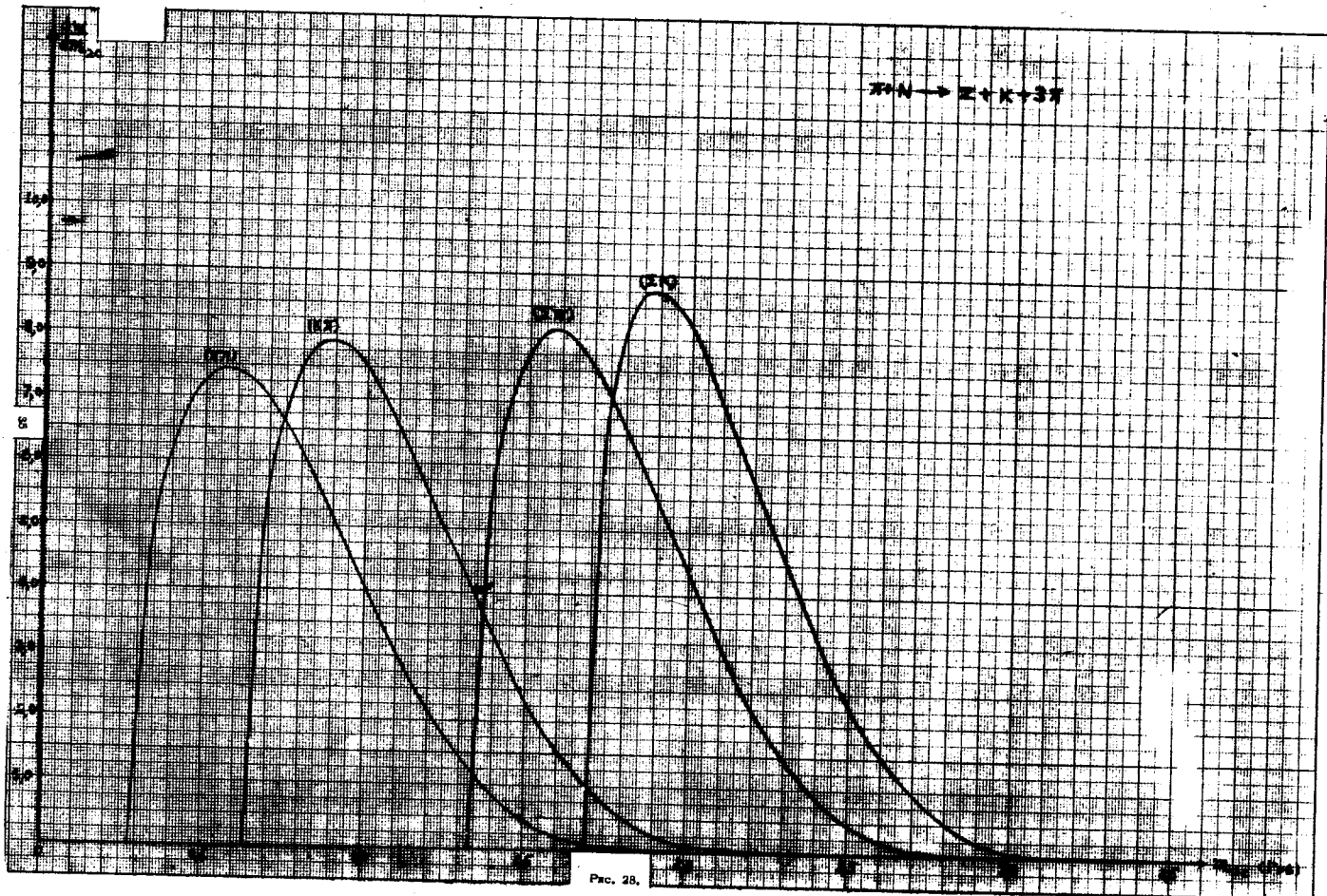


FIG. 26.



$\pi^+ N \rightarrow \pi + K + 3\pi$



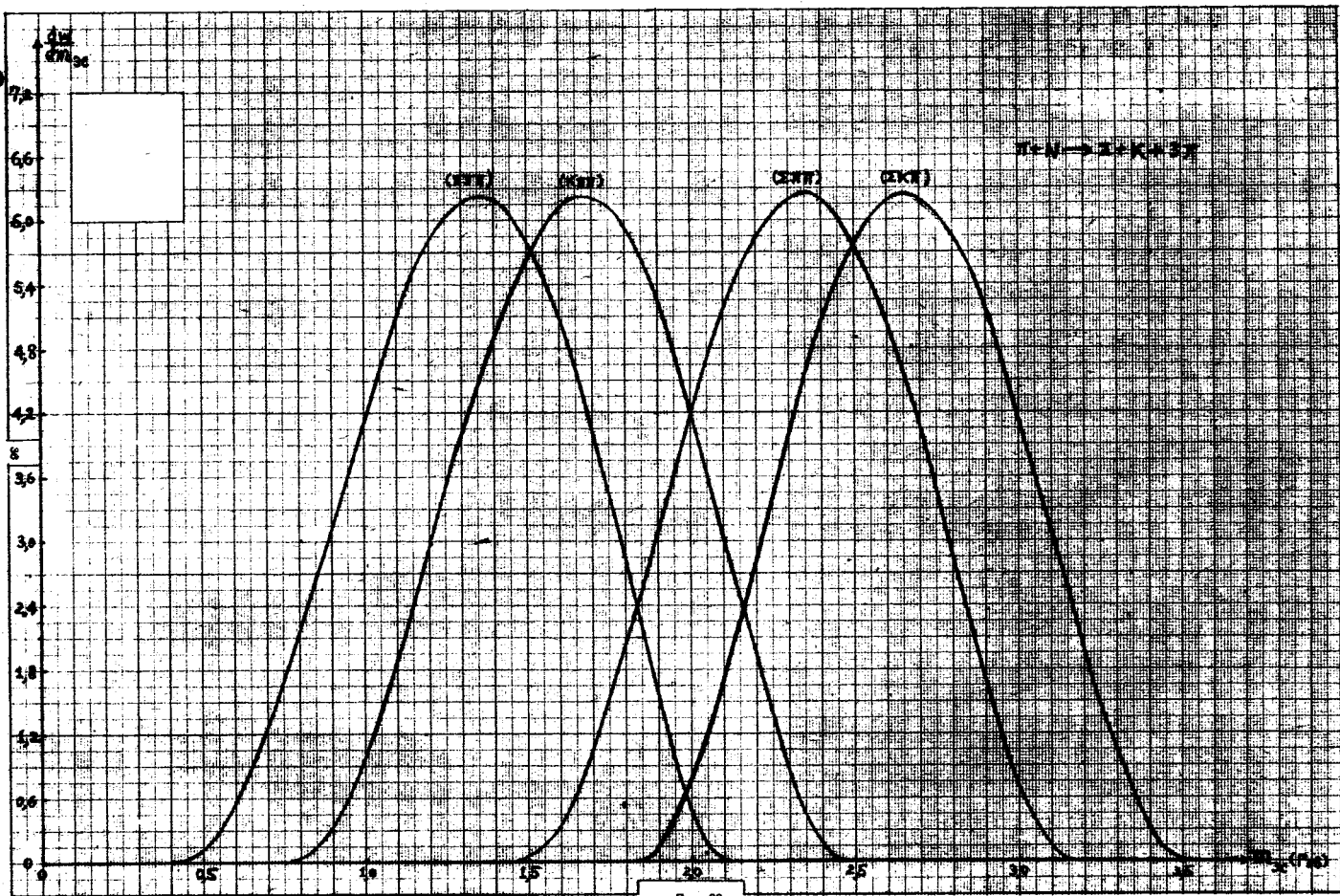
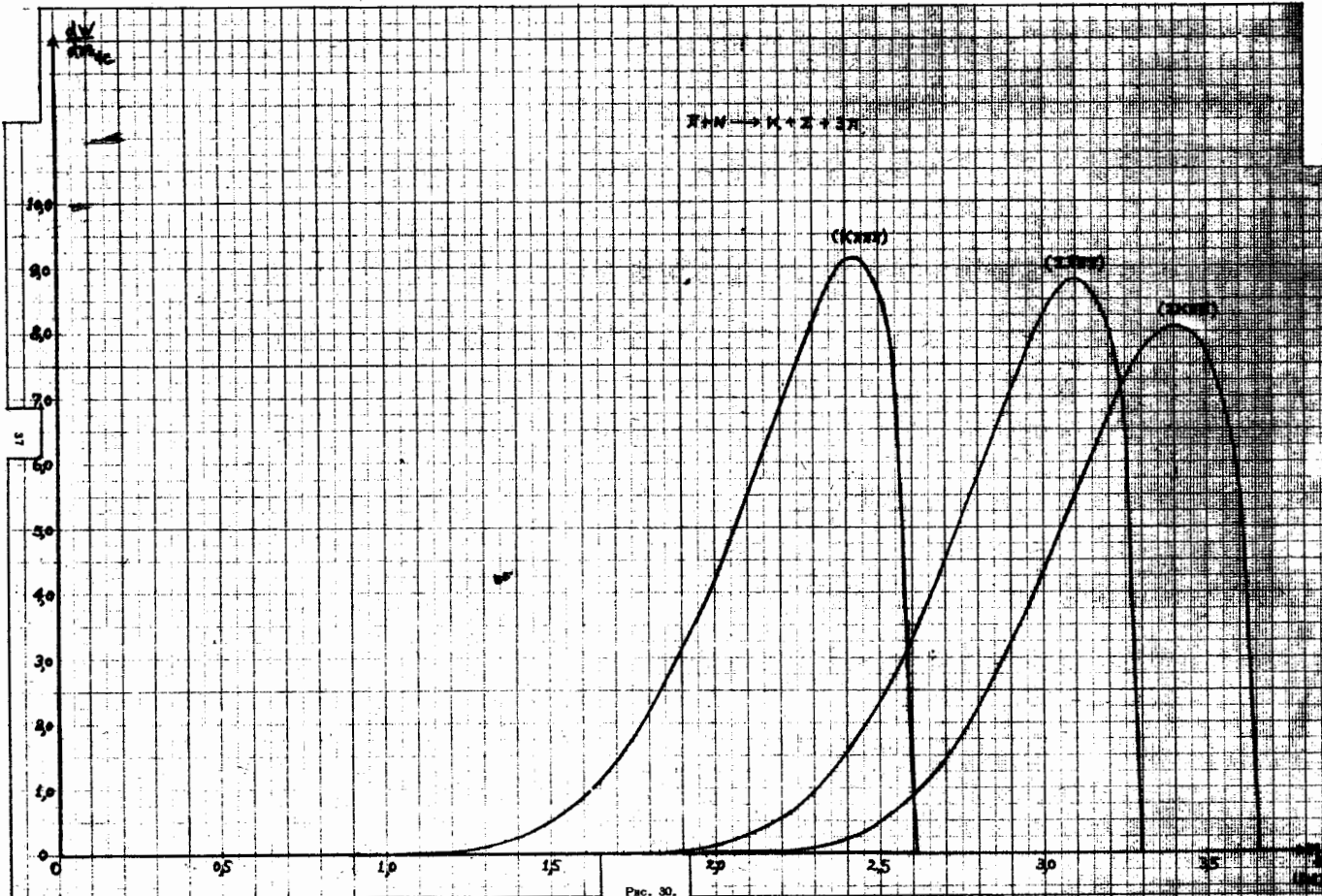


FIG. 28.



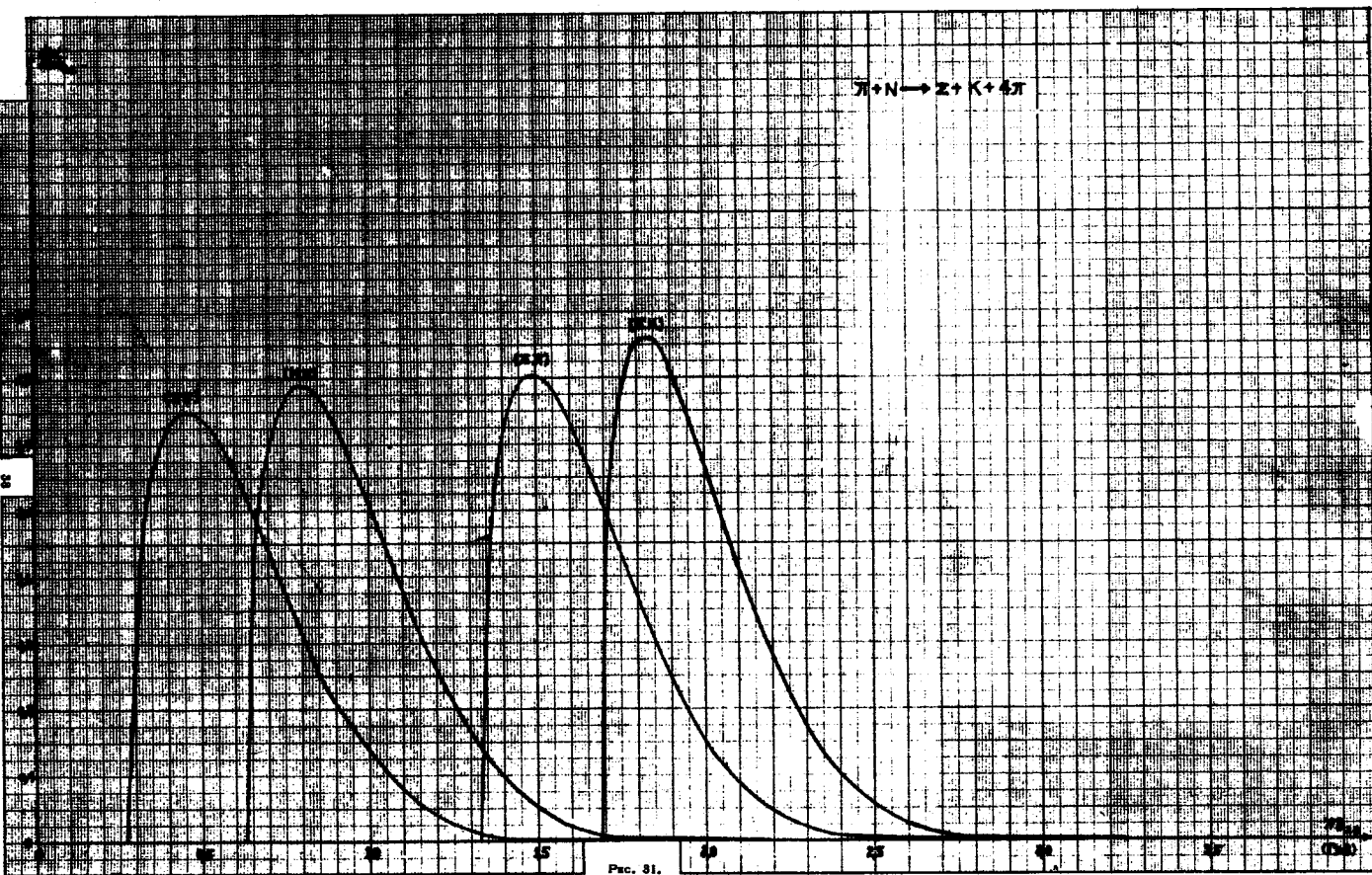
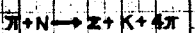
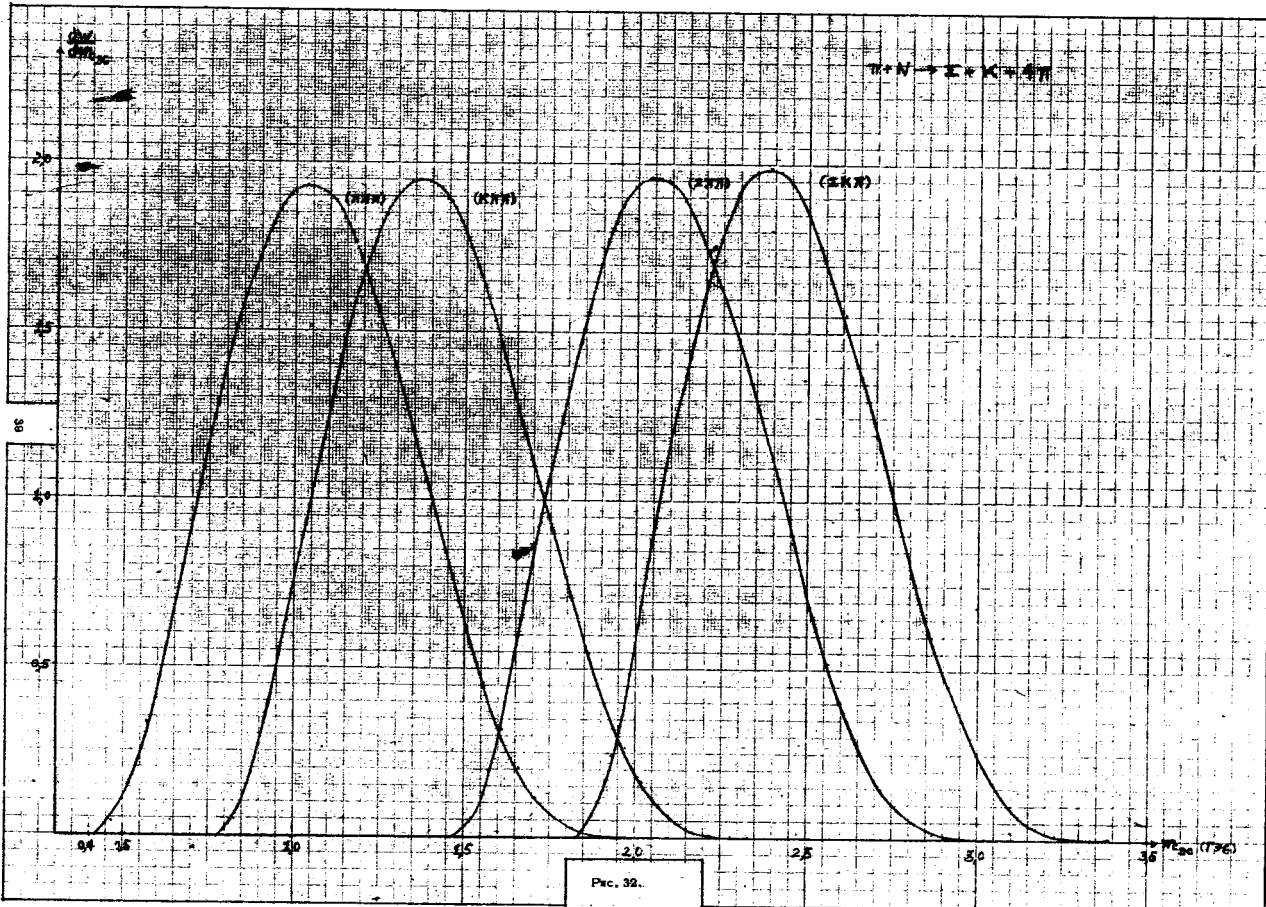


FIG. 31.

$\pi^+ N \rightarrow \Sigma^+ K^+ \eta$



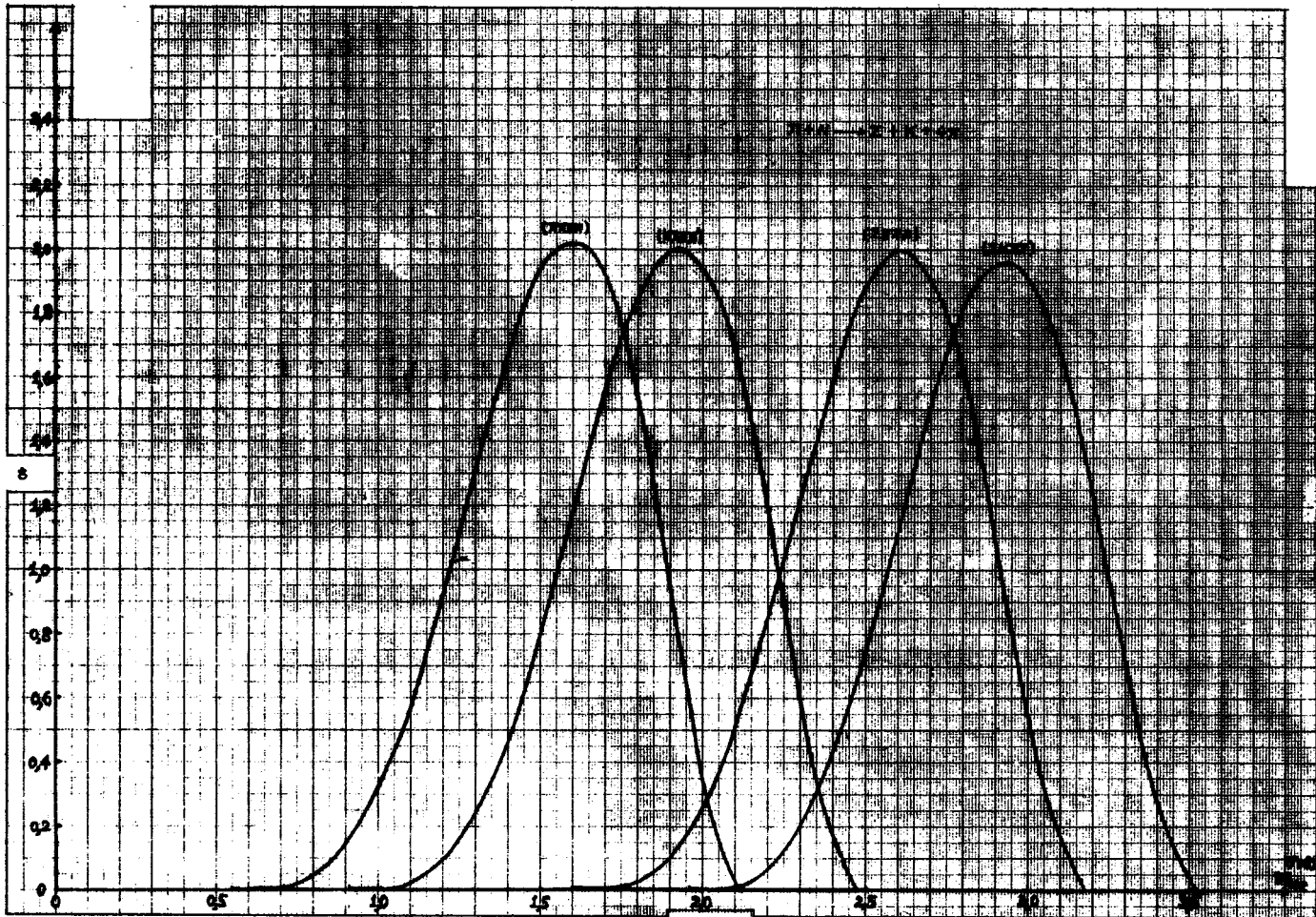
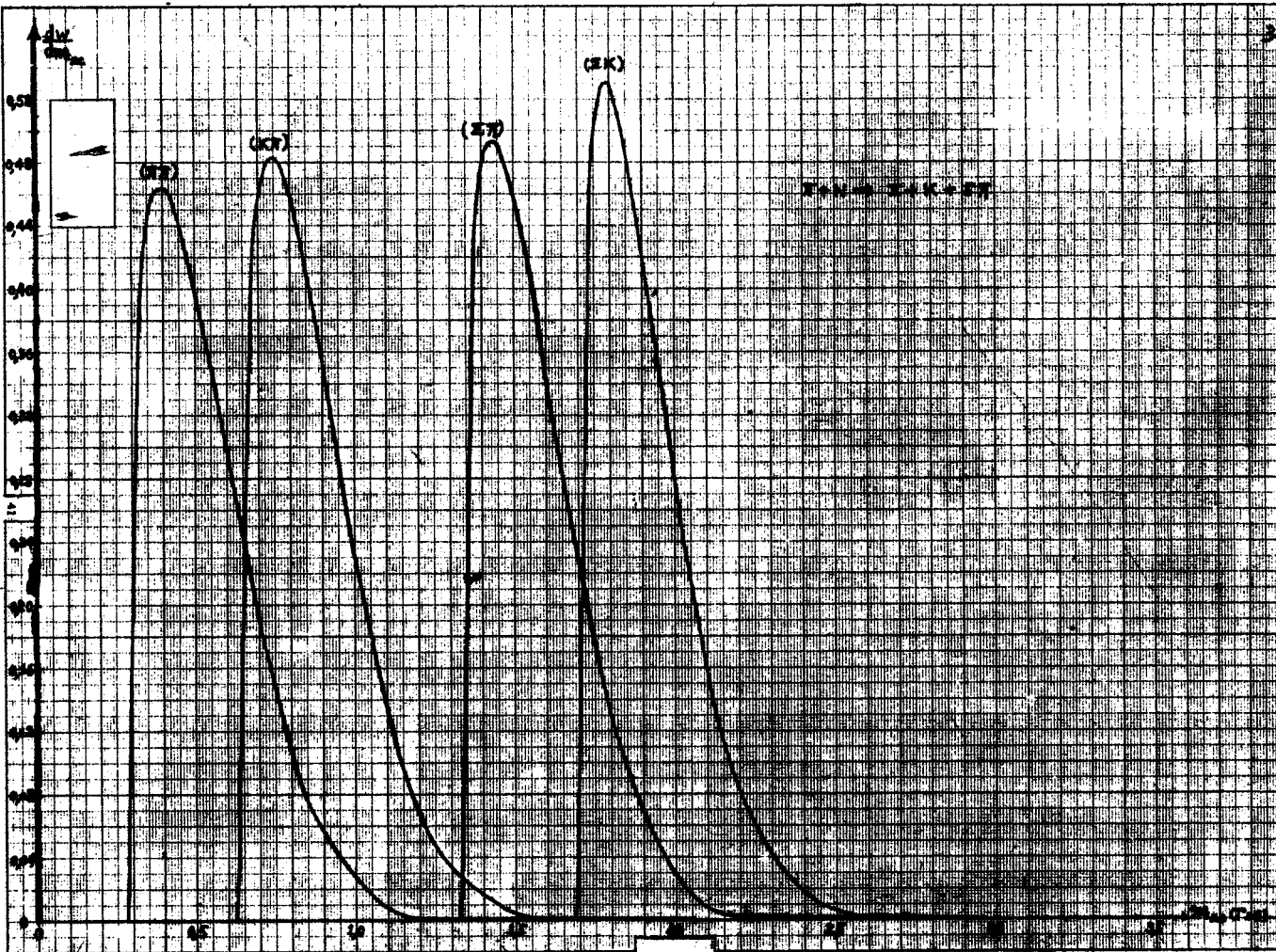
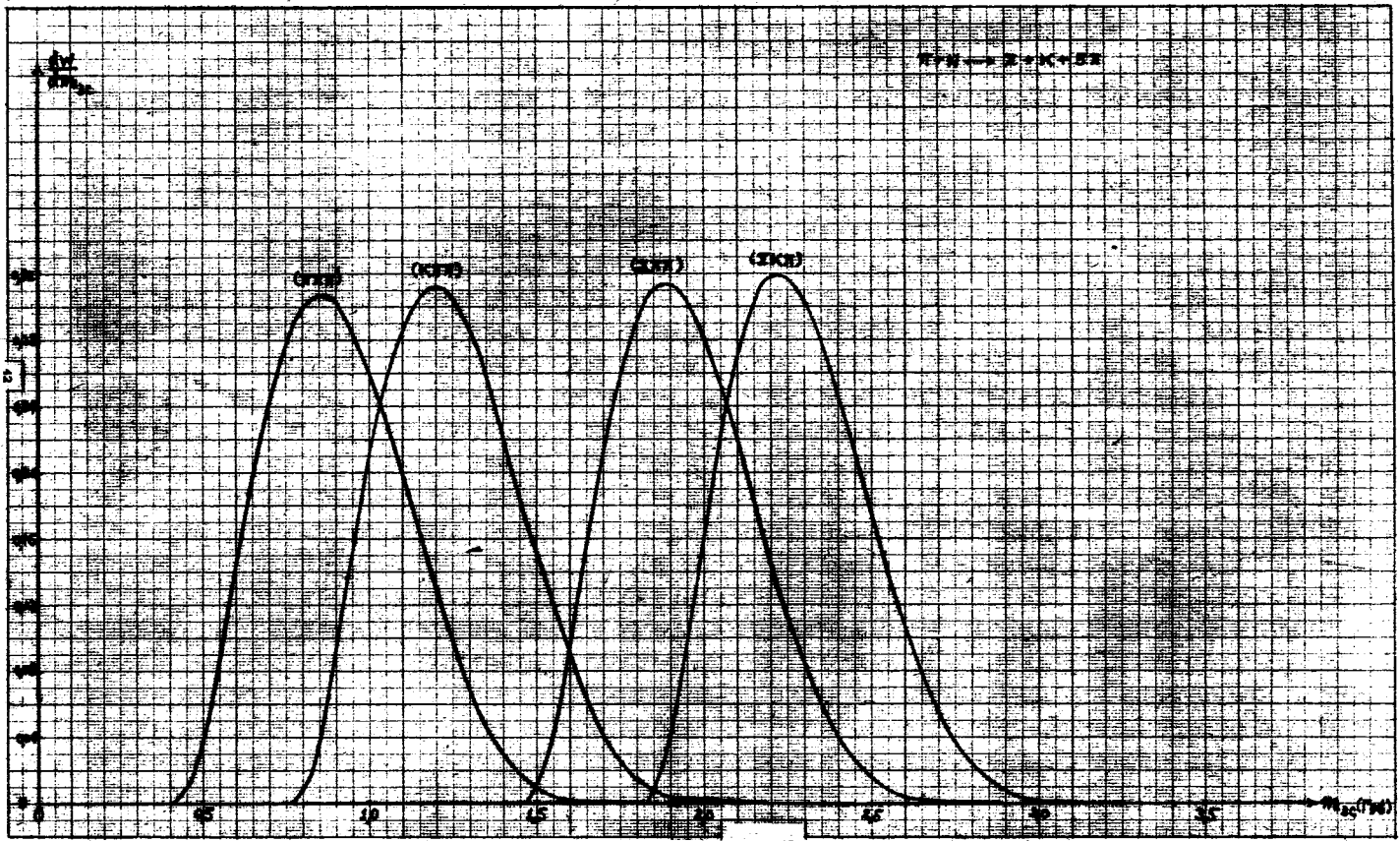


FIG. 33.



$\text{P} \rightarrow \text{N} + \text{O}_2$

(200) (200) (200) (200)



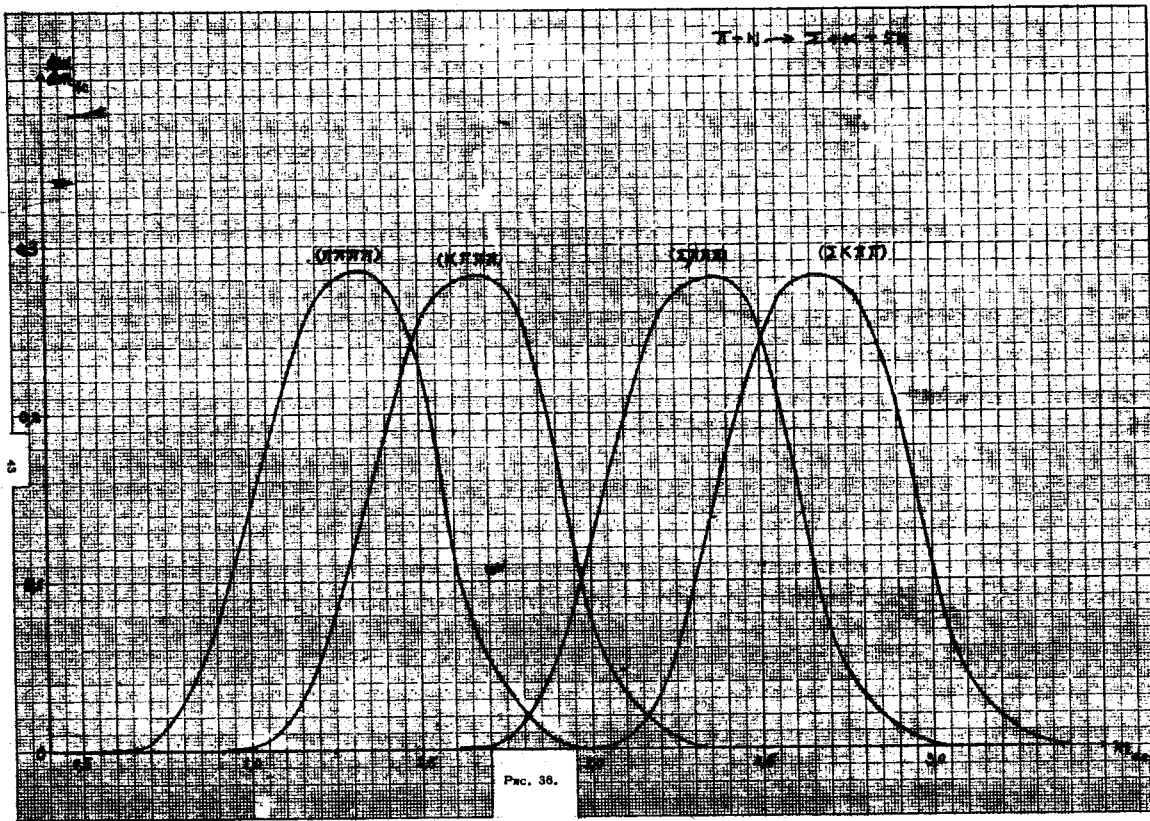
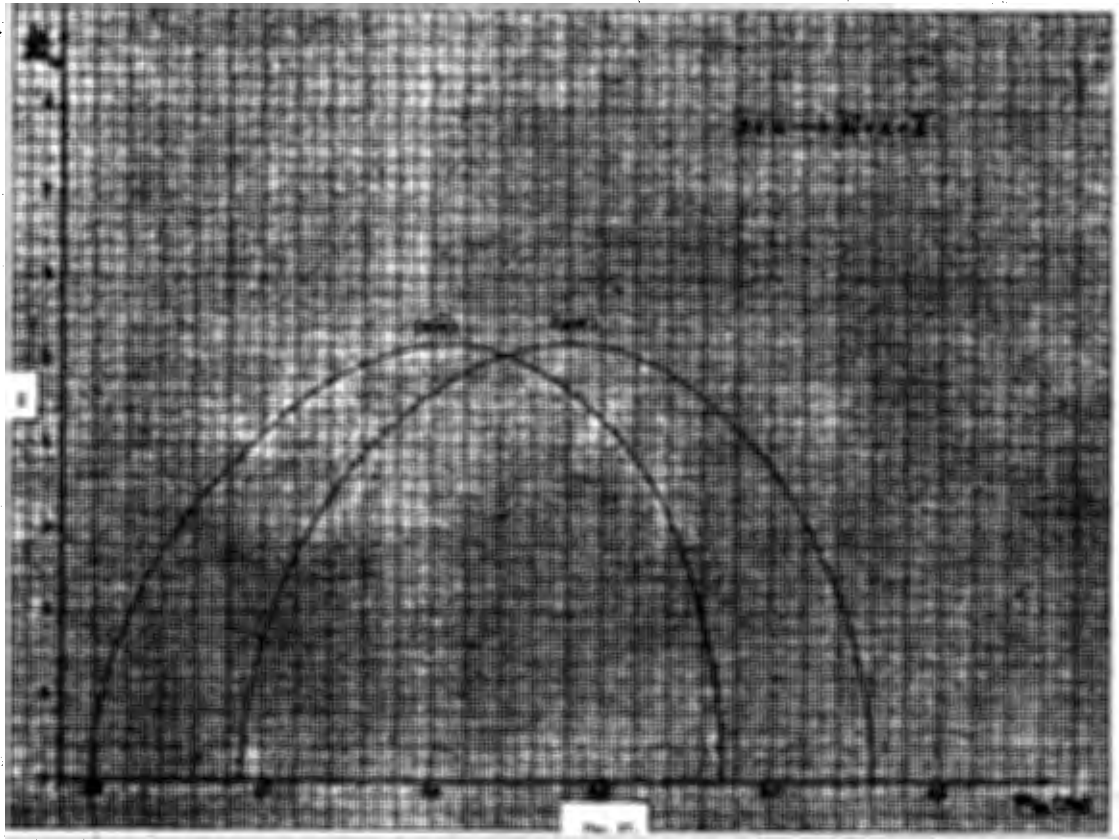
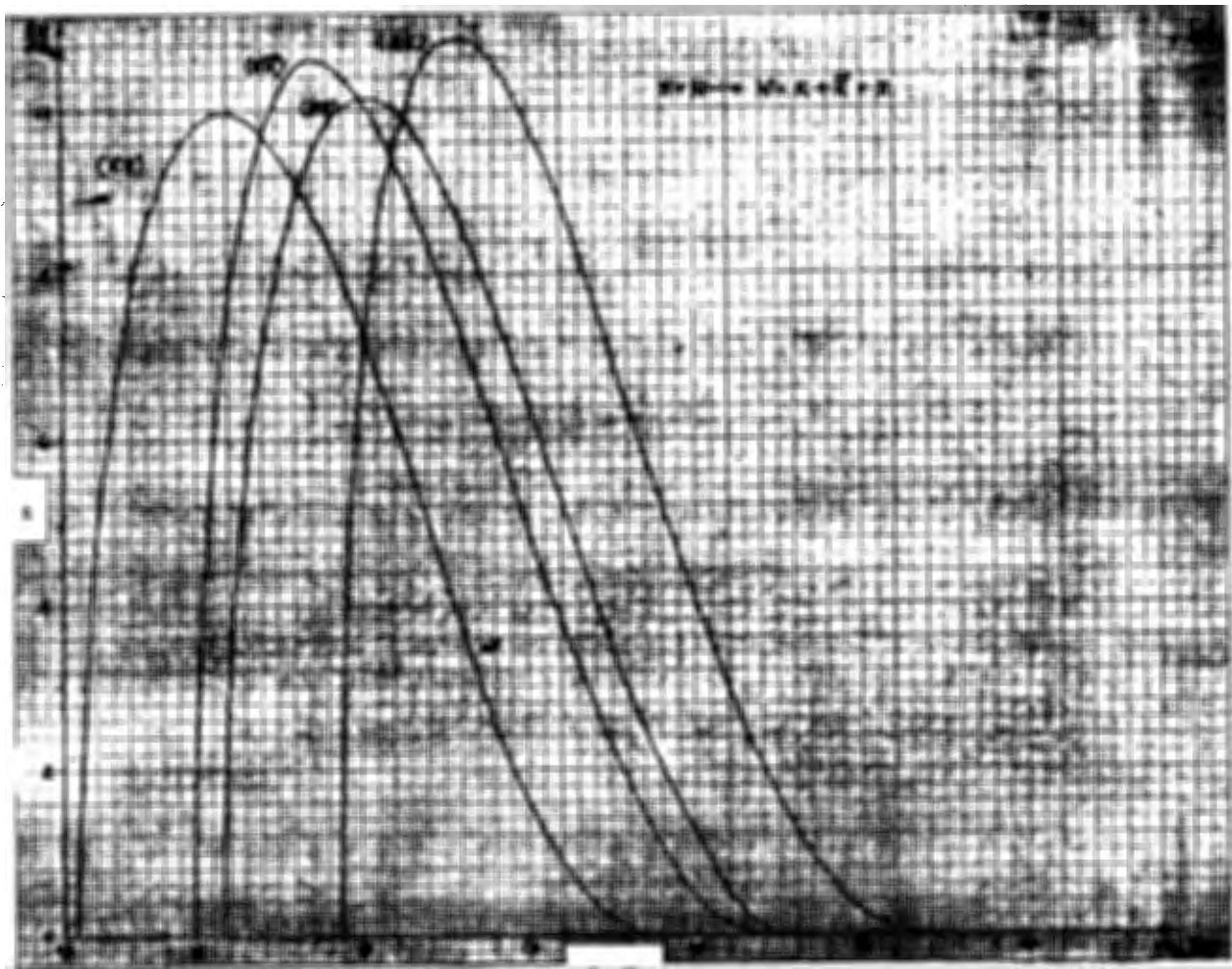


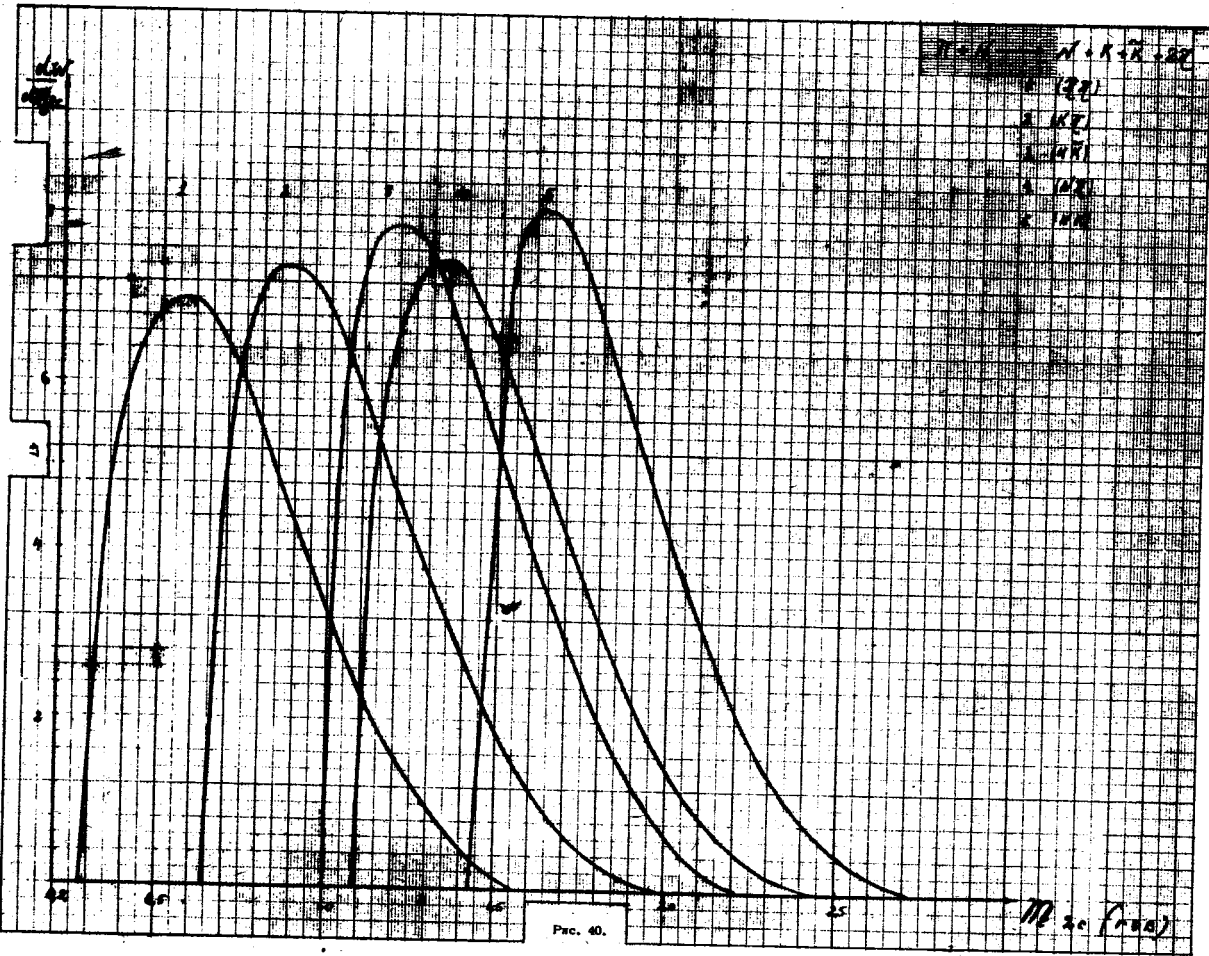
FIG. 36.





Pac. 39.

(2)





- 1. CKK<sub>E</sub>
- 2. CKK<sub>H</sub>
- 3. CKE<sub>H</sub>
- 4. CKR<sub>H</sub>
- 5. CKR<sub>E</sub>

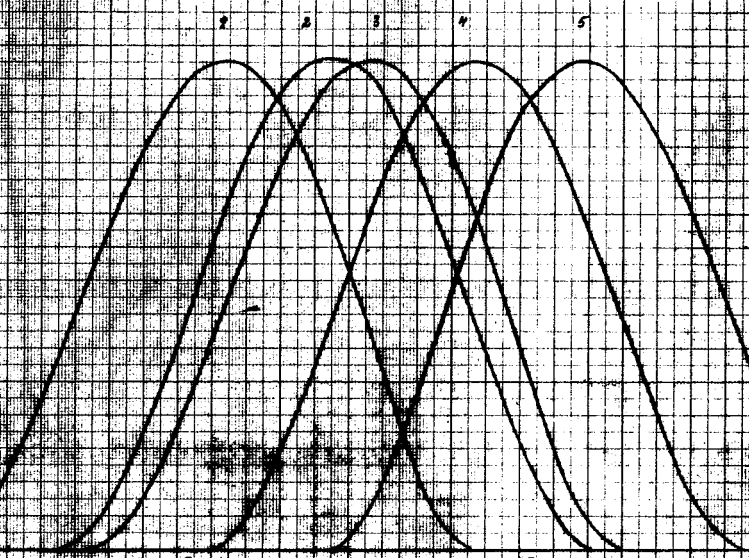
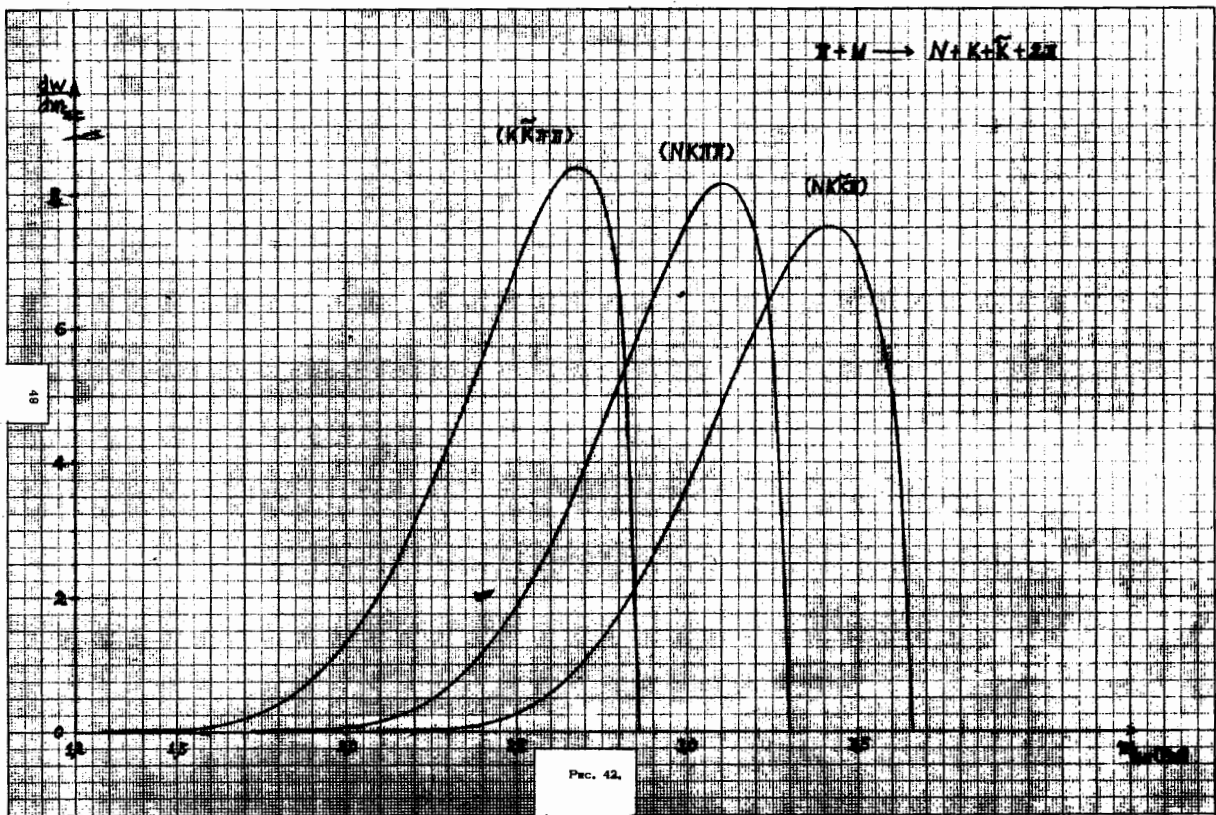
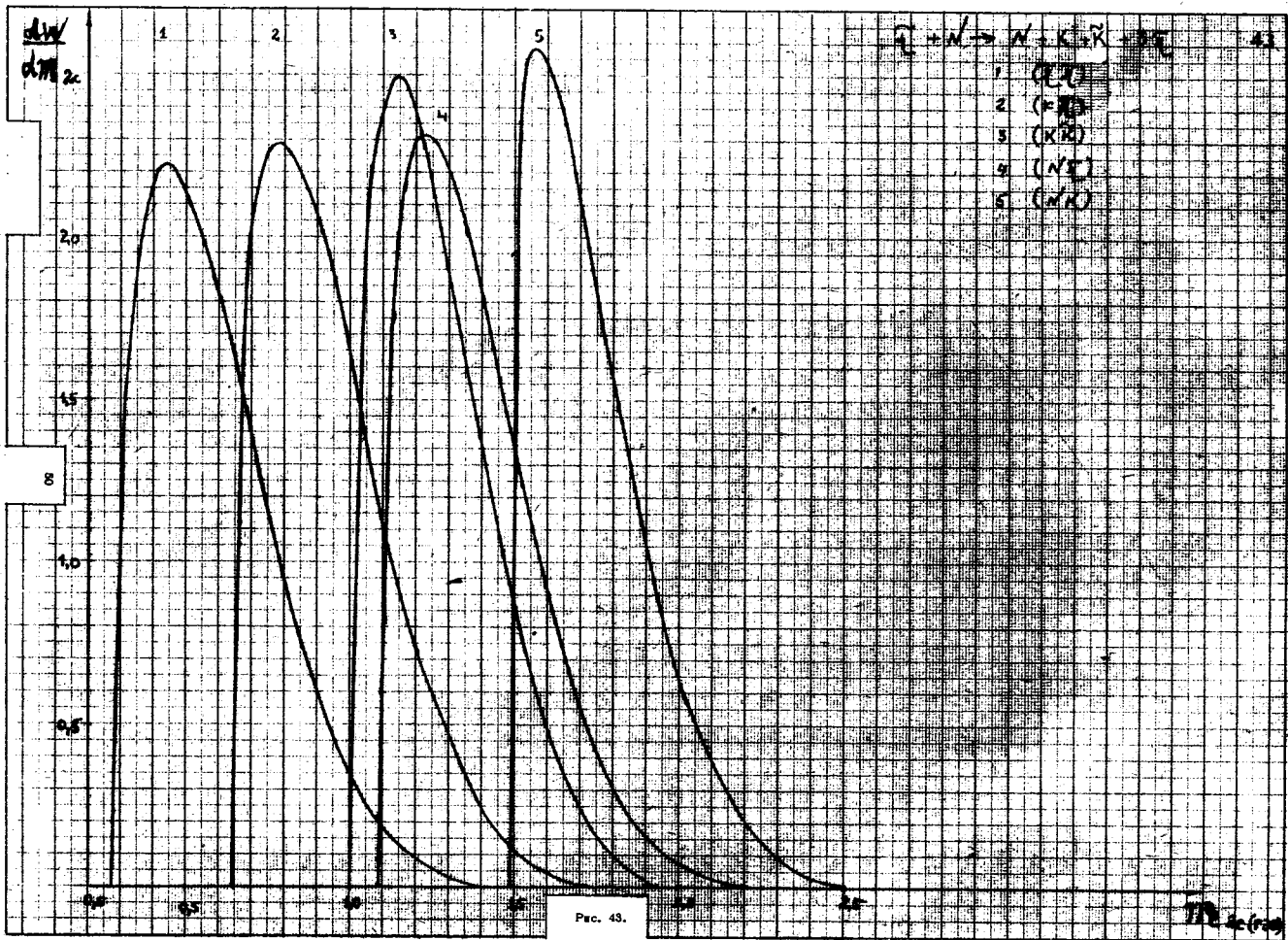
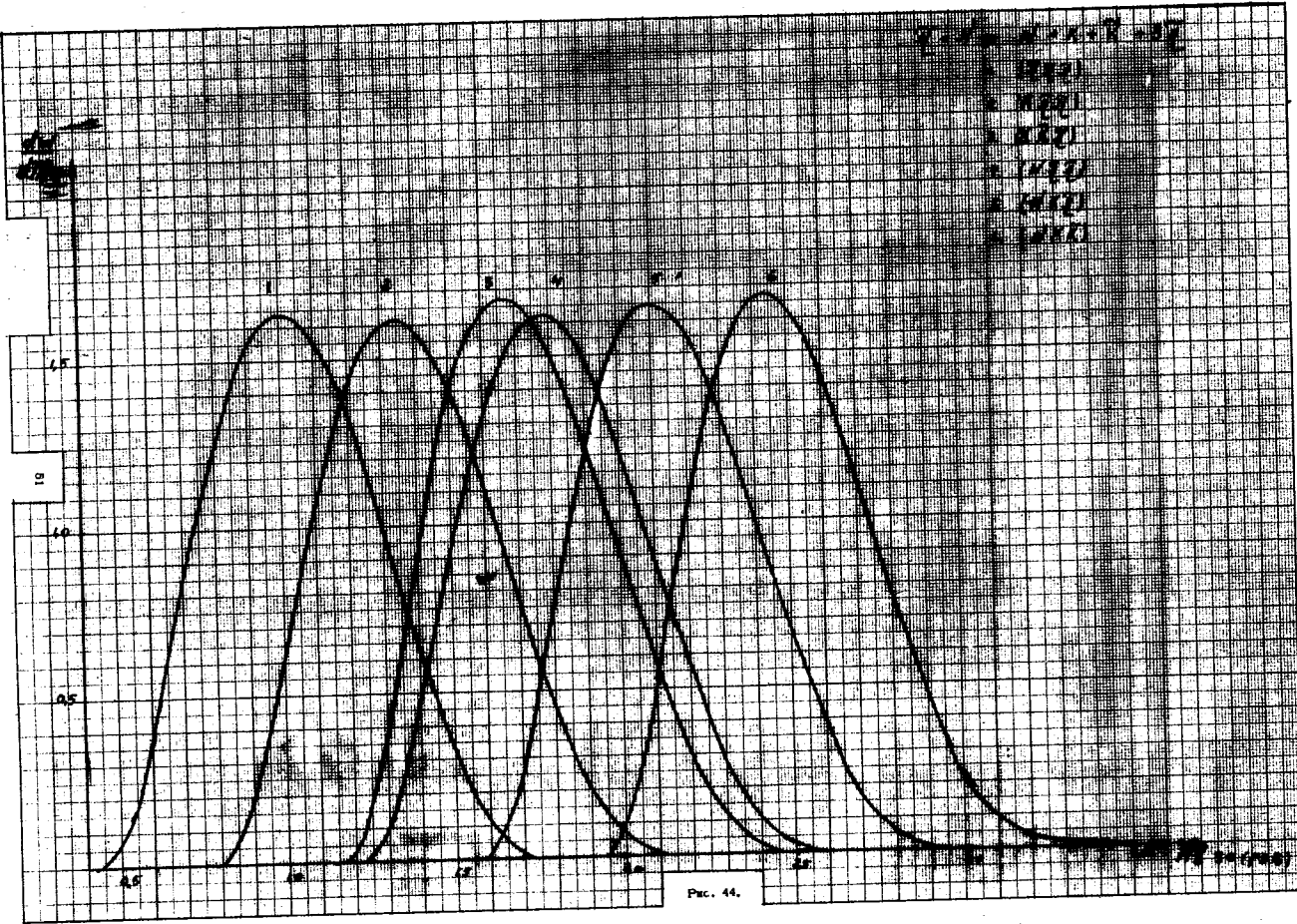


FIG. 41.

M 36 (prob)







$$Z = \sqrt{N} \cdot K \cdot R = 6.6$$

1.  $(K \bar{x}_1 \bar{x}_2)$
2.  $(\bar{x}_1 \bar{x}_2)$
3.  $(\bar{N} \bar{x}_1 \bar{x}_2)$
4.  $(\bar{N} \bar{x}_1 \bar{x}_2)$
5.  $(\bar{N} \bar{x}_1 \bar{x}_2)$

$\frac{dw}{d\tau}$

2.0

D

45

35

20

0.5

0.5

40

45

50

55

60

65

70

75

80

$Mg \text{ g. (F34)}$

FIG. 45.

$$T = N + X \cdot k + 9$$

(48)

143

147

148

149

142

144

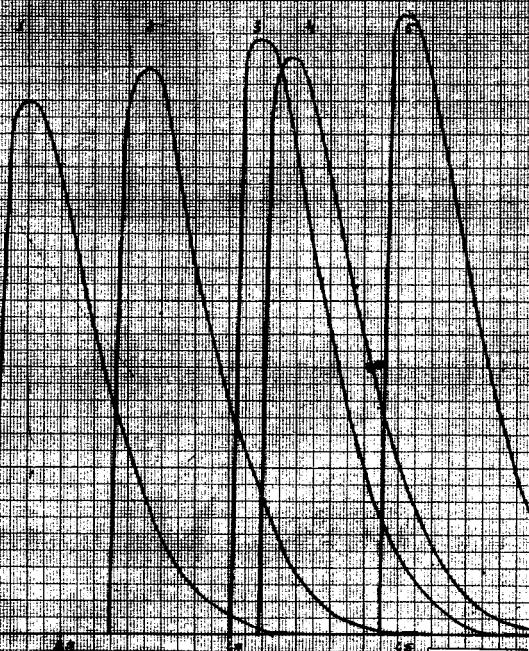


Fig. 48.

